

Dipendenza dal flavour delle distribuzioni TMD non polarizzate

Andrea Signori

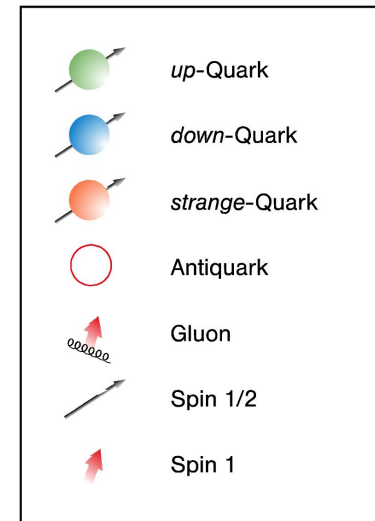
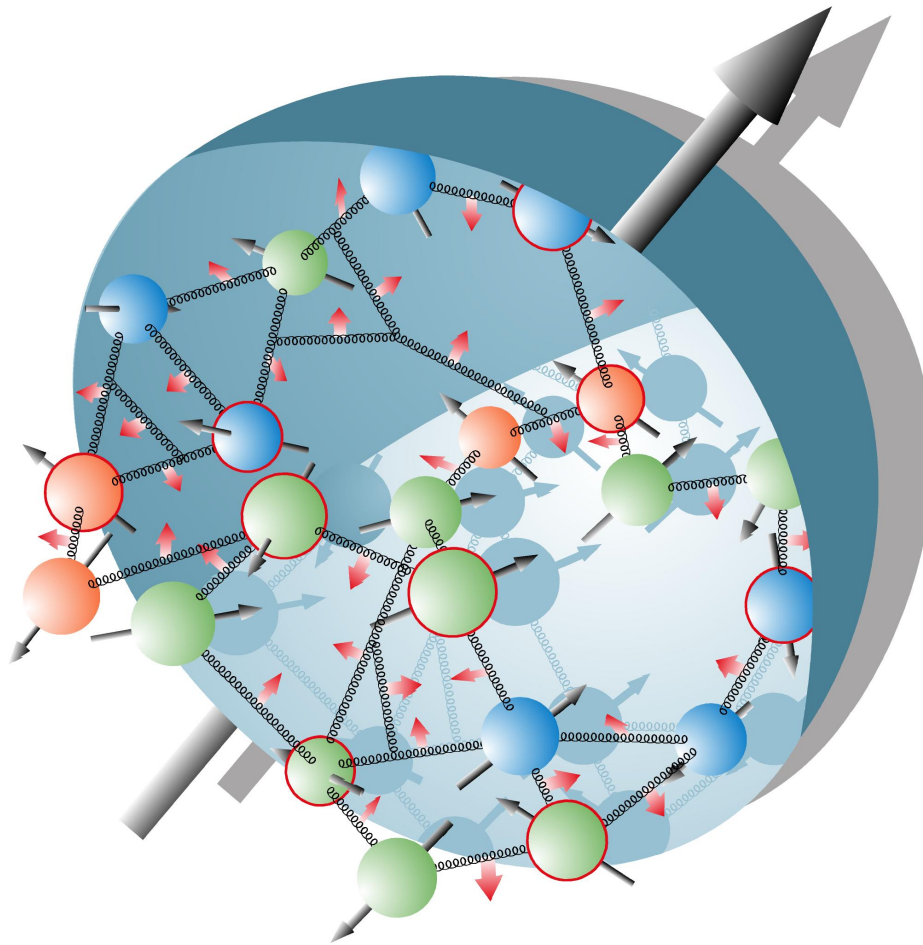
Università di Pavia



Scopo

Estrazione della dipendenza dal flavour
delle distribuzioni partoniche
dipendenti dal momento trasverso (TMDs)
da produzione di adroni semi-inclusiva
all'esperimento COMPASS

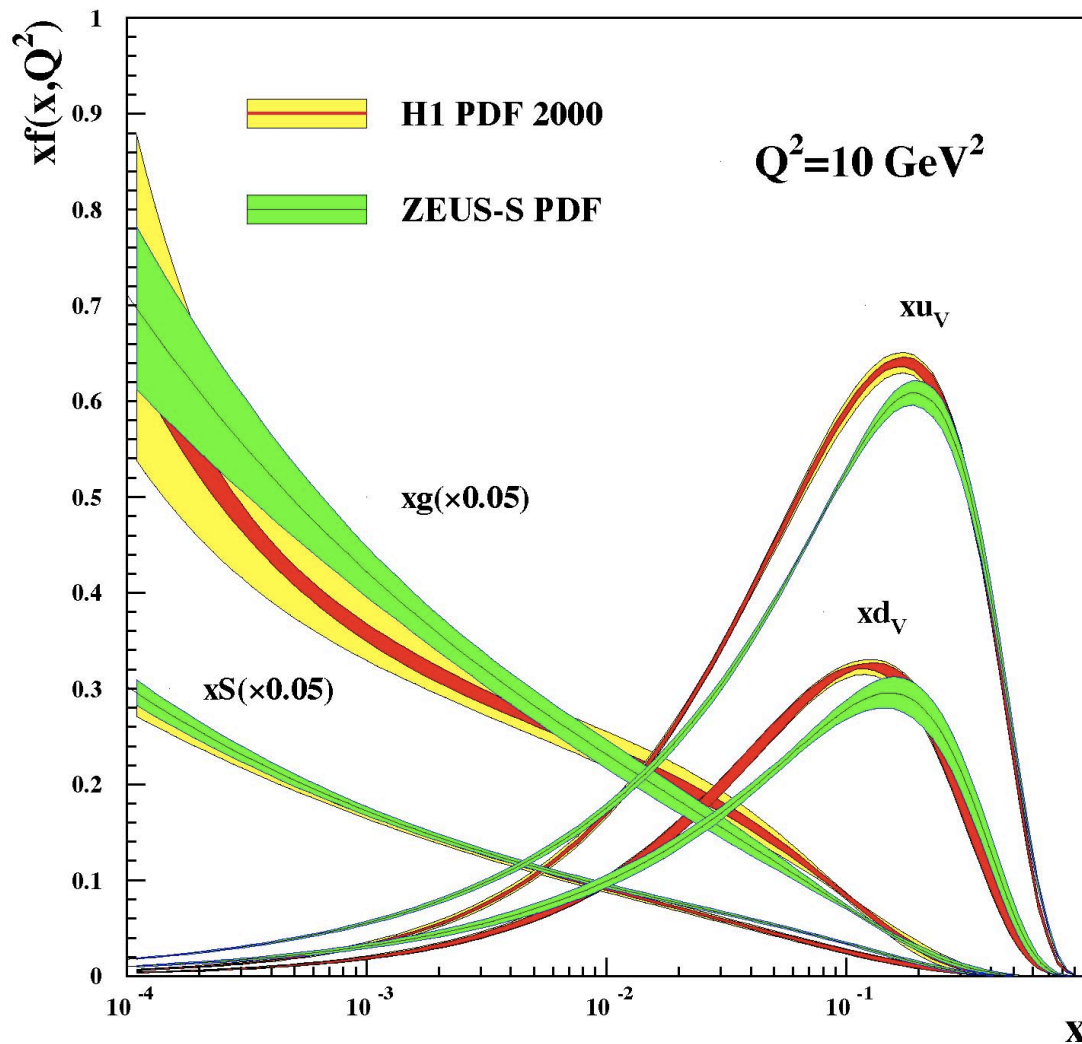
Quark Parton Model



[Feynman, Bjorken '60-'70]

Che cosa sono le
transverse-momentum-dependent
distributions
(TMDs) ?

Distribuzioni partoniche (PDFs) collineari

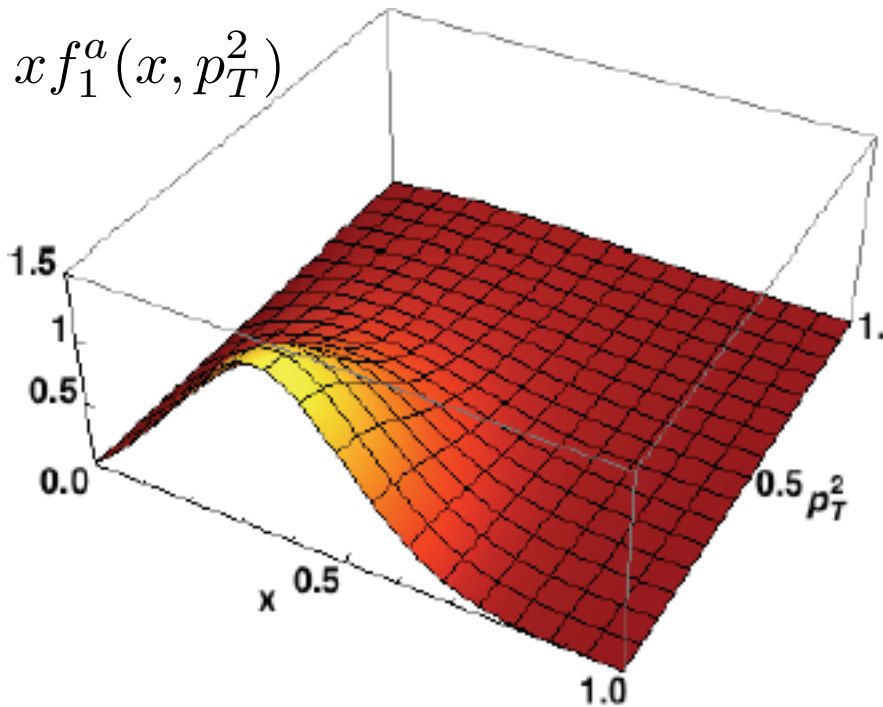


PDFs: struttura
monodimensionale
del protone nello spazio
degli impulsi

$$f_1^a(x)$$

*Densità di probabilità di trovare un
partone con flavour a
all'interno del protone*

TMD PDFs



TMD PDFs: analisi della struttura
3-dimensionale del protone
nello spazio degli impulsi

$$f_1^a(x, p_T^2)$$

“Transverse-momentum distributions
in a diquark spectator model”

[PhysRevD.78.074010](https://arxiv.org/abs/hep-ph/0607202)

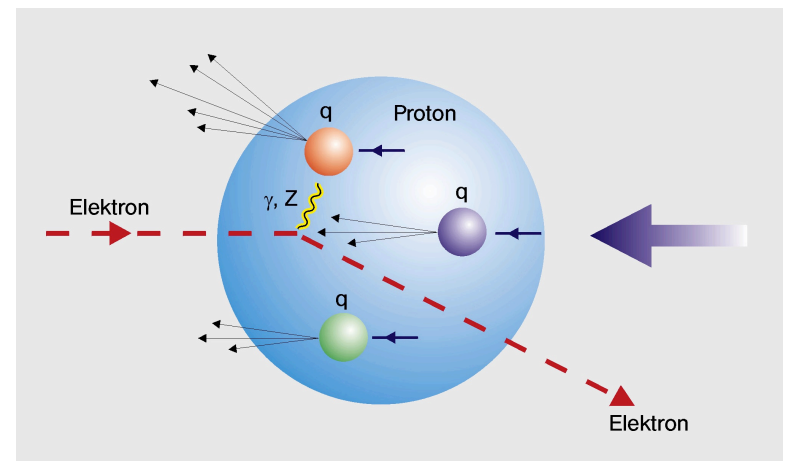
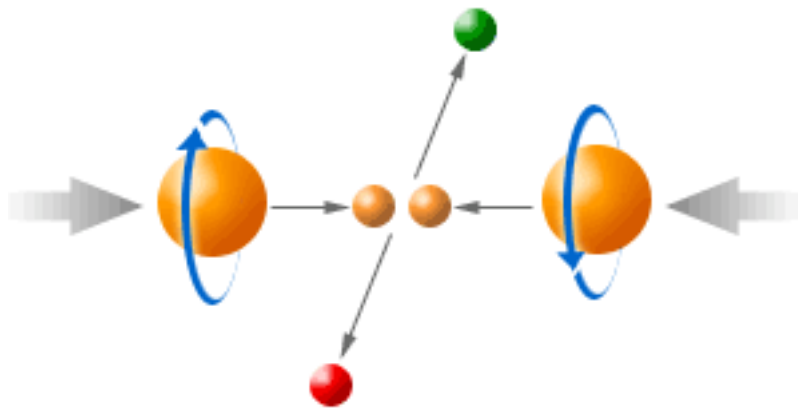
A cosa servono le TMDs ?

A cosa servono le TMDs ?

- Tomografia 3-dim degli adroni

A cosa servono le TMDs ?

- Tomografia 3-dim degli adroni
- Strumento fondamentale per la **fisica delle alte energie** in generale



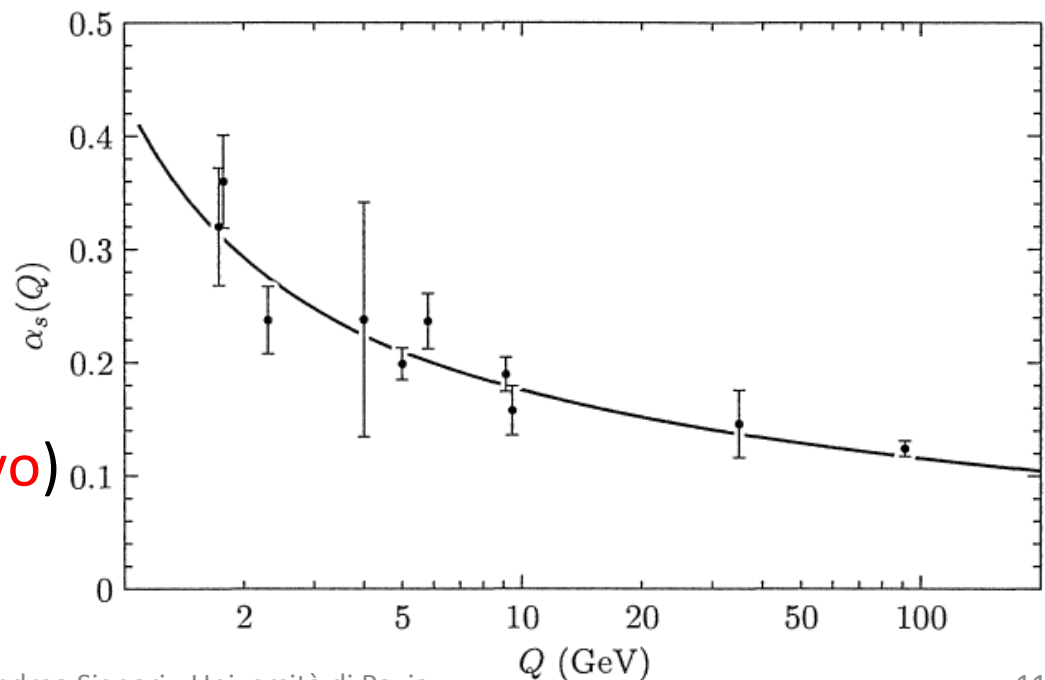
Come accedere alle TMDs ?

Come accedere alle TMDs ?

- Alla scala della **massa del protone** la QCD **non** è attualmente calcolabile sulla base di metodi **perturbativi**

$$\alpha_S(1 \text{ GeV}) \sim 0.35$$

(problema **non perturbativo**)



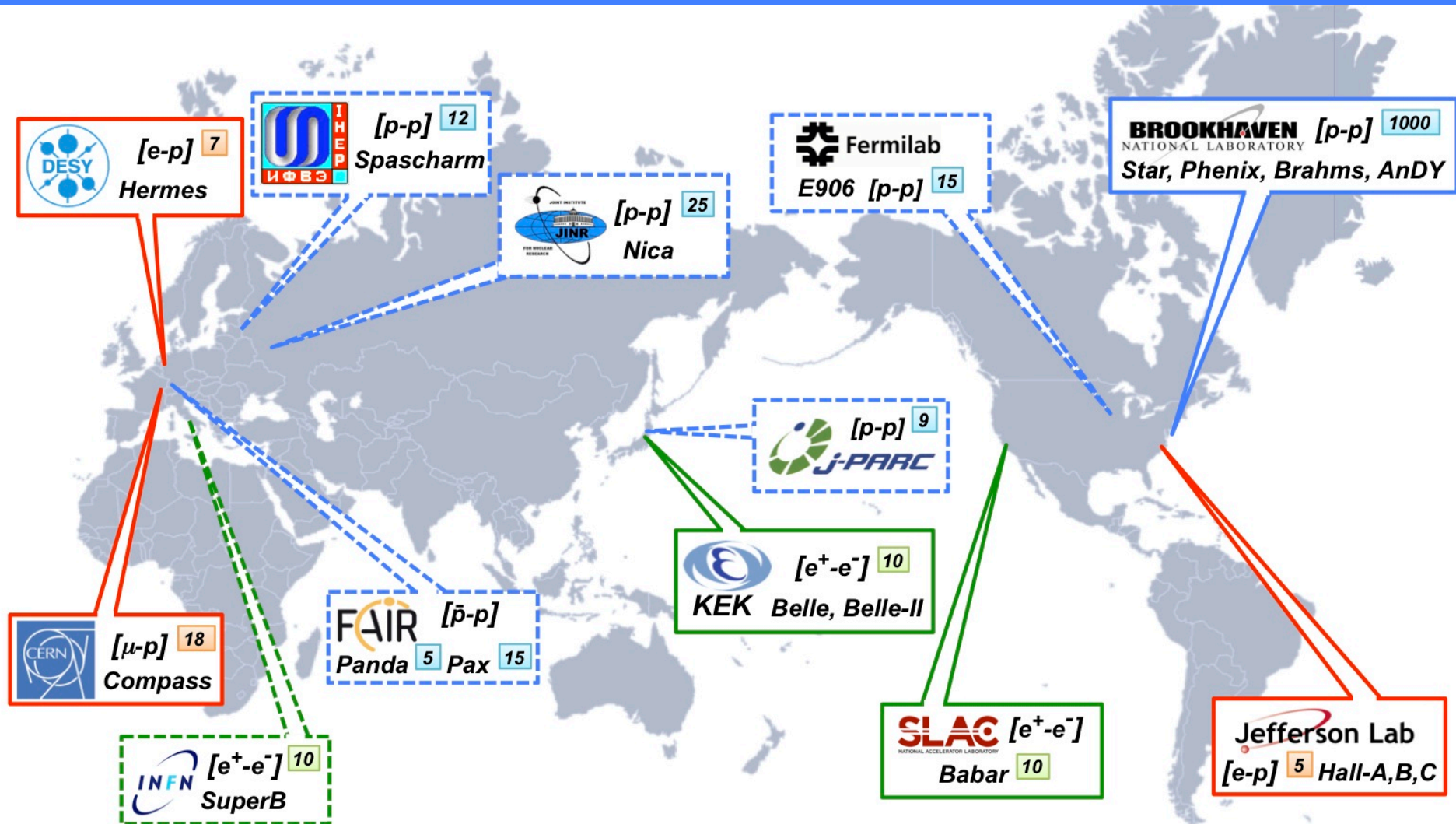
Come accedere alle TMDs ?

- Alla scala della **massa del protone** la QCD **non** è attualmente calcolabile sulla base di metodi **perturbativi**

$$\alpha_S(1 \text{ GeV}) \sim 0.35$$

- Scegliamo di **estrarre informazioni dai dati sperimentali** con **procedure di fit**

Come accedere alle TMDs ?



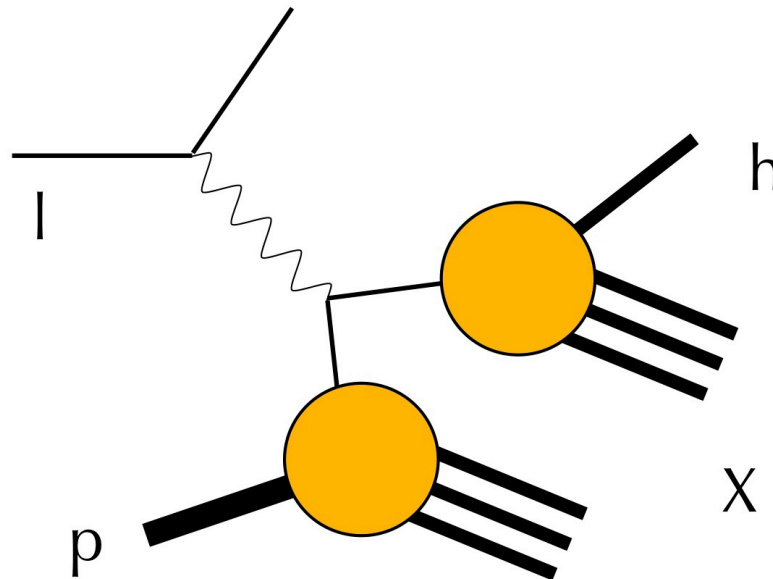
Come accedere alle TMDs ?

Analisi di scattering profondamente anelastico
semi-inclusivo (SIDIS) di muoni non polarizzati
su nucleoni non polarizzati
all'esperimento COMPASS



Come accedere alle TMDs ?

Analisi di **scattering profondamente anelastico semi-inclusivo (SIDIS)** di muoni non polarizzati su nucleoni non polarizzati all'esperimento COMPASS



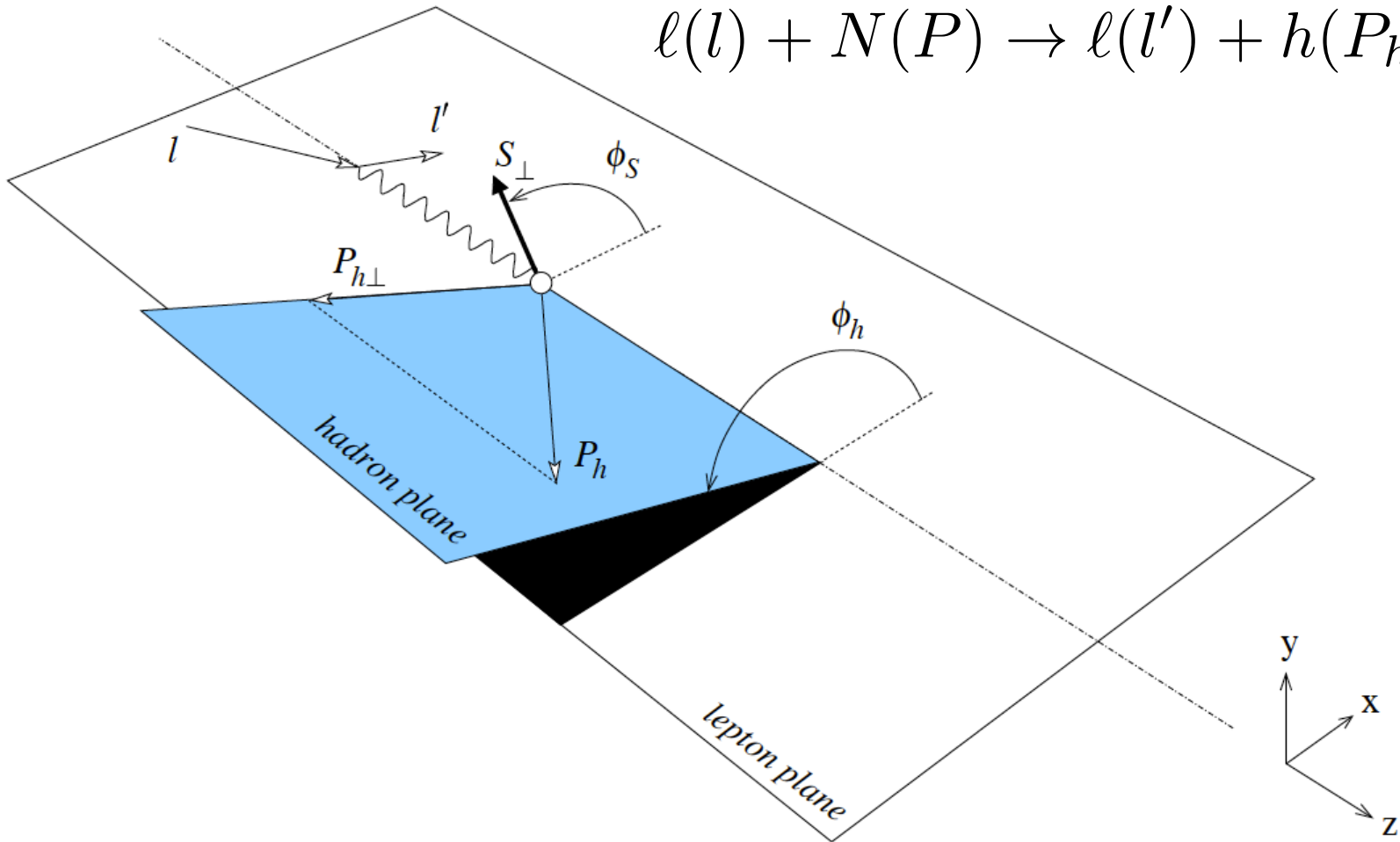
SIDIS

$$\frac{d\sigma}{dP_{h\perp}^2} \sim \sum_a e_a^2 f_1^a(x, p_T^2) \otimes D_1^a(z, K_T^2)$$

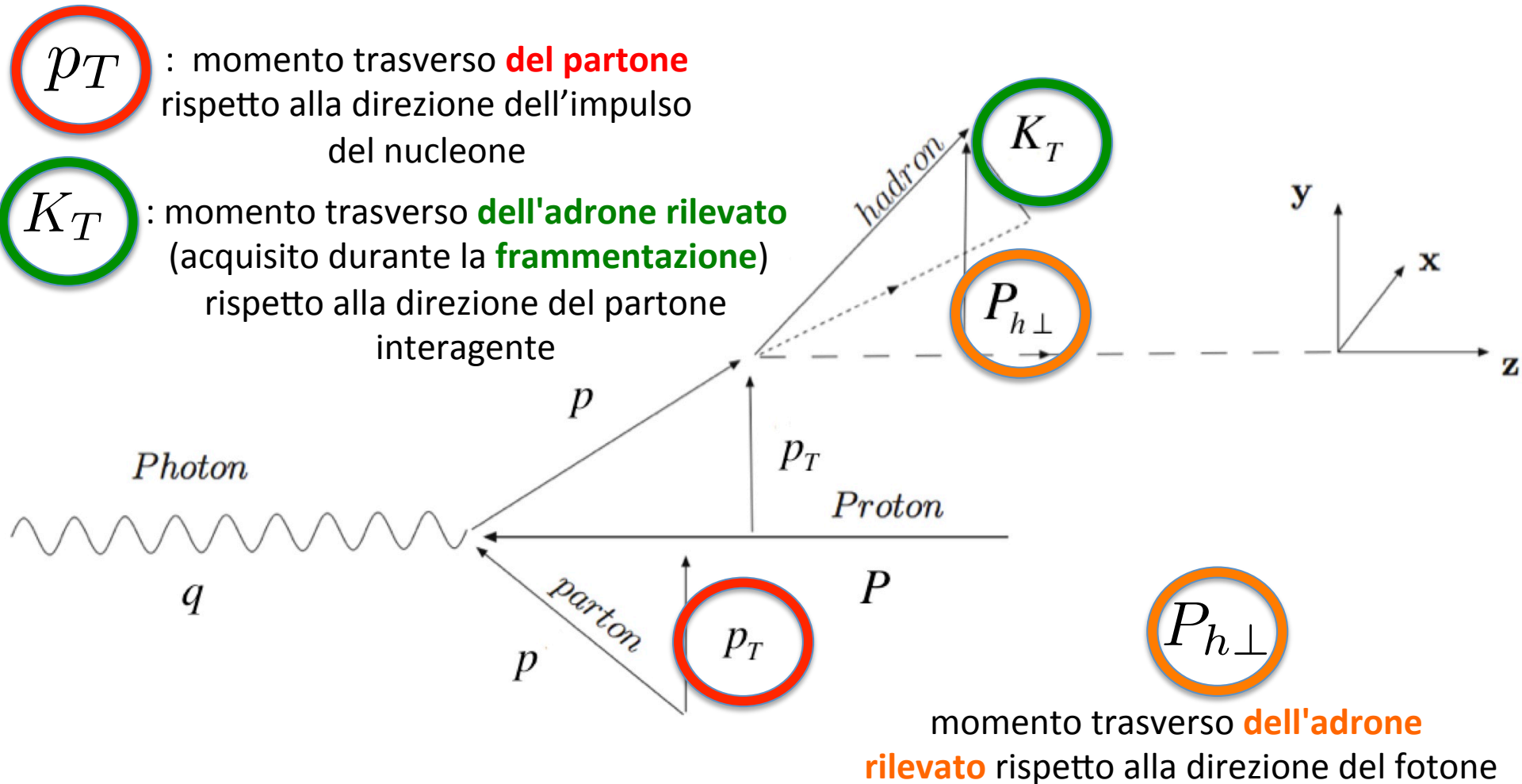
Semi-inclusive Deep Inelastic Scattering

SIDIS

$$\ell(l) + N(P) \rightarrow \ell(l') + h(P_h) + X$$



SIDIS



SIDIS

Approssimazioni utilizzate

1. One-photon exchange

SIDIS

Approssimazioni utilizzate

1. One-photon exchange
- 2. Small transverse momenta**

$$P_{h\perp}^2 \ll Q^2$$
$$p_T^2 \ll Q^2$$

SIDIS

Approssimazioni utilizzate

1. One-photon exchange

2. Small transverse momenta

3. Leading-twist (**LT**): trascurare potenze di

$$P_{h\perp}^2 \ll Q^2$$

$$p_T^2 \ll Q^2$$

$$\frac{M}{Q}$$

SIDIS

Approssimazioni utilizzate

1. One-photon exchange

2. Small transverse momenta

3. Leading-twist (**LT**): trascurare potenze di

4. Leading-order (**LO**): ordine zero in α_S^2

$$P_{h\perp}^2 \ll Q^2$$

$$p_T^2 \ll Q^2$$

$$\frac{M}{Q}$$

SIDIS

Approssimazioni utilizzate

1. One-photon exchange

2. **Small transverse momenta**

3. Leading-twist (**LT**): trascurare potenze di $\frac{M}{Q}$

4. Leading-order (**LO**): ordine zero in α_S^2

$$P_{h\perp}^2 \ll Q^2$$
$$p_T^2 \ll Q^2$$

Cross-section:

$$\frac{d^{(4)}\sigma}{dx dz dQ^2 dP_{h\perp}^2} = \frac{\pi\alpha^2}{xQ^4} \left[1 + \left(1 - \frac{Q^2}{xs} \right) \right] F_{UU,T}(x, z, Q^2; P_{h\perp}^2)$$

Unpolarized structure function

$F_{UU,T}$ e momenti trasversi

$$F_{UU,T}(x, z, Q^2; P_{h\perp}^2) = x \sum_a f_1^a(x, Q^2, p_T^2) \otimes D_1^a(z, Q^2, K_T^2)$$

$F_{UU,T}$ e momenti trasversi

$$F_{UU,T}(x, z, Q^2; P_{h\perp}^2) = x \sum_a f_1^a(x, Q^2, p_T^2) \otimes D_1^a(z, Q^2, K_T^2)$$

- 1) Dalla espressione della convoluzione si ricava la relazione tra i momenti trasversi

$$\langle P_{h\perp}^2 \rangle = z^2 \langle p_T^2 \rangle + \langle K_T^2 \rangle$$

$F_{UU,T}$ e momenti trasversi

$$F_{UU,T}(x, z, Q^2; P_{h\perp}^2) = x \sum_a f_1^a(x, Q^2, p_T^2) \otimes D_1^a(z, Q^2, K_T^2)$$

- 1) Dalla espressione della convoluzione si ricava la relazione tra i momenti trasversi

$$\langle P_{h\perp}^2 \rangle = z^2 \langle p_T^2 \rangle + \langle K_T^2 \rangle$$

- 2) Ma come **parametrizzare** la parte TMD di queste funzioni?

Ipotesi gaussiana flavour-independent

Parametrizzazione gaussiana

$$f_1^a(x, Q^2, p_T^2) = f_1^a(x, Q^2) \cdot \frac{1}{\pi \langle p_T^2 \rangle} \exp \left\{ -\frac{p_T^2}{\langle p_T^2 \rangle} \right\}$$

Parti TMD indipendenti dal flavour

$$D_1^a(z, Q^2, K_T^2) = D_1^a(z, Q^2) \cdot \frac{1}{\pi \langle K_T^2 \rangle} \exp \left\{ -\frac{K_T^2}{\langle K_T^2 \rangle} \right\}$$

Ipotesi gaussiana flavour-independent

Parametrizzazione gaussiana

$$f_1^a(x, Q^2, p_T^2) = f_1^a(x, Q^2) \cdot \frac{1}{\pi \langle p_T^2 \rangle} \exp \left\{ -\frac{p_T^2}{\langle p_T^2 \rangle} \right\}$$

Parti TMD indipendenti dal flavour

$$D_1^a(z, Q^2, K_T^2) = D_1^a(z, Q^2) \cdot \frac{1}{\pi \langle K_T^2 \rangle} \exp \left\{ -\frac{K_T^2}{\langle K_T^2 \rangle} \right\}$$

NB: non c'è vera fattorizzazione tra parte collineare e parte TMD:

$$\langle p_T^2 \rangle = \langle p_T^2 \rangle(x, Q^2)$$

$$\langle K_T^2 \rangle = \langle K_T^2 \rangle(z, Q^2)$$

Ipotesi gaussiana flavour-independent

- È un **buon modello** per fittare i dati con

$$P_{h\perp}^2 \ll Q^2$$

Ipotesi gaussiana flavour-independent

- È un **buon modello** per fittare i dati con

$$P_{h\perp}^2 \ll Q^2$$

- Ma ha un notevole deficit:

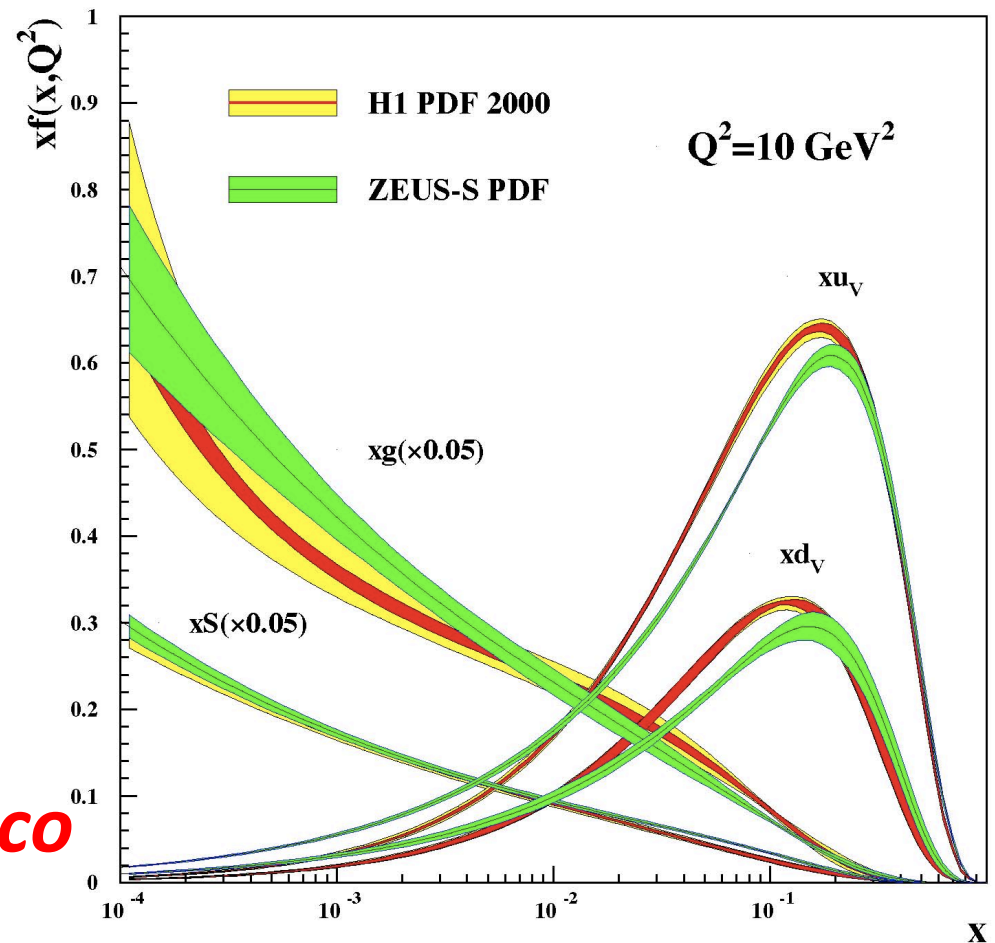
ASSENZA DELLA FLAVOUR DEPENDENCE

Ipotesi: flavour-dependence

Essendo le PDF **collineari**
FORTEMENTE
dipendenti dal flavour
ci aspettiamo che le loro
generalizzazioni 3-dim
siano altrettanto.

Un'ipotesi **euristica...**

A cui vorremmo conferire
supporto fenomenologico



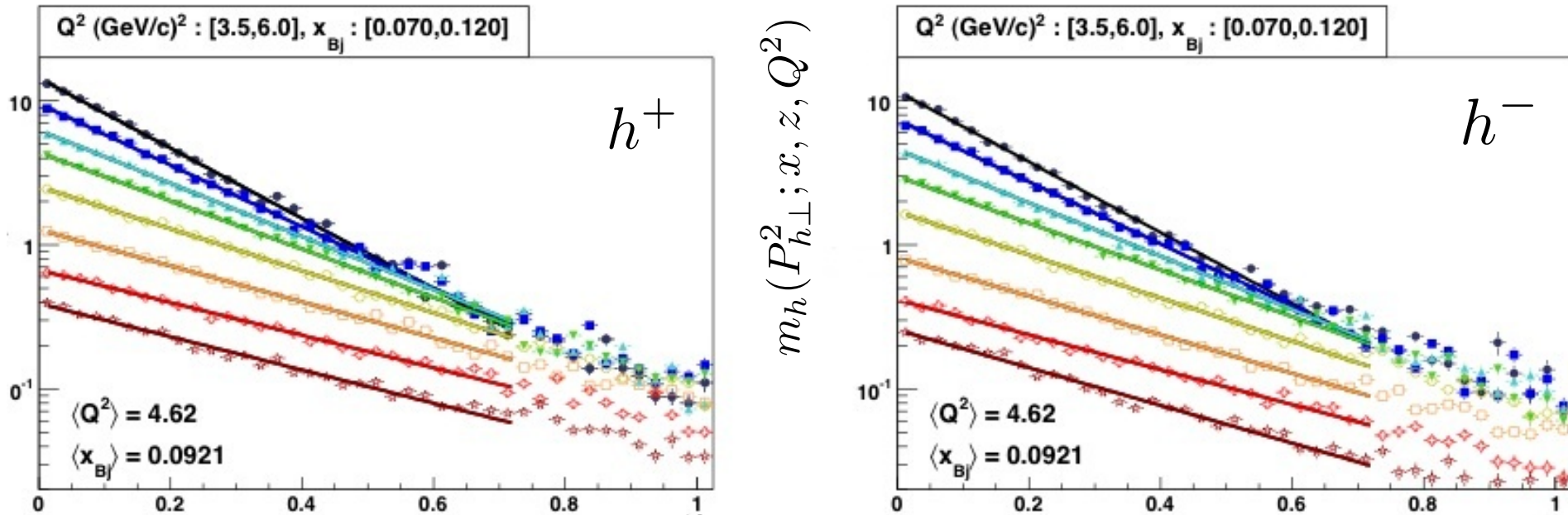
COMPASS DATA ANALYSIS

PROGETTO

Esplorazione della dipendenza dal flavour
delle TMDs non polarizzate
sfruttando gli **ampi intervalli cinematici** esplorati
e l'**elevata statistica** collezionata da COMPASS

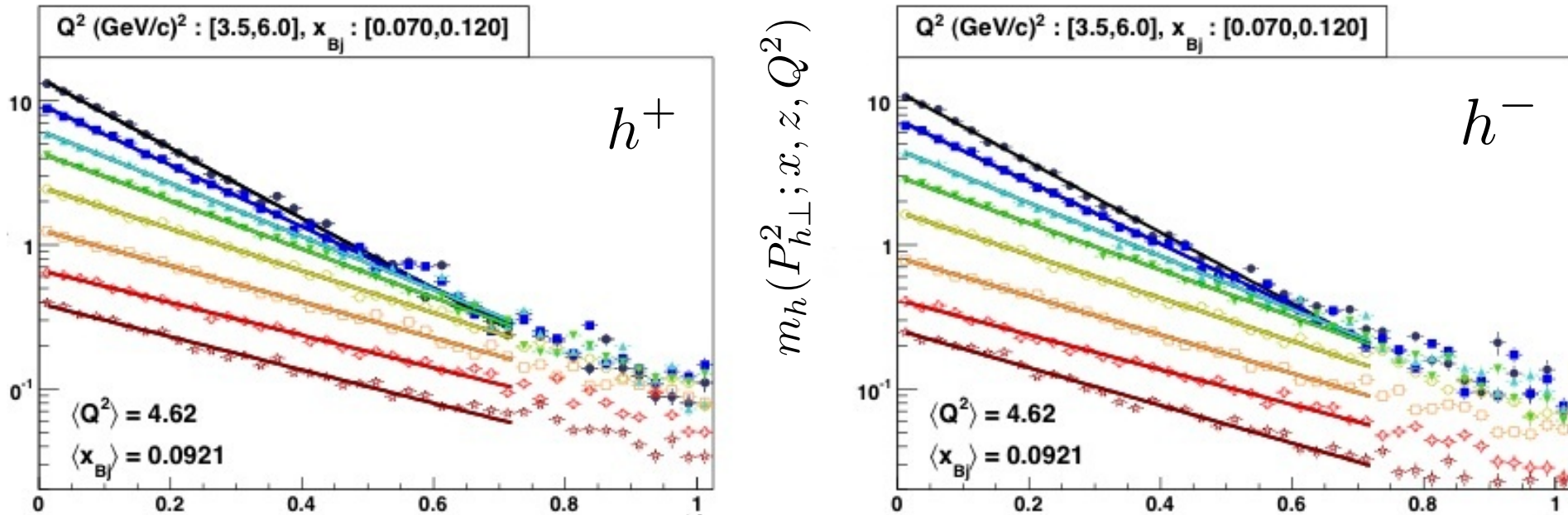


COMPASS: fit di dati preliminari



$$m_h(P_{h\perp}^2; x, z, Q^2) = \frac{d^{(4)}\sigma^{SIDIS}}{d^{(2)}\sigma^{DIS}} = \mathcal{A}_{\pm} \exp\left\{-\frac{P_{h\perp}^2}{\langle P_{h\perp}^2 \rangle_{\pm}}\right\}$$

COMPASS: fit di dati preliminari

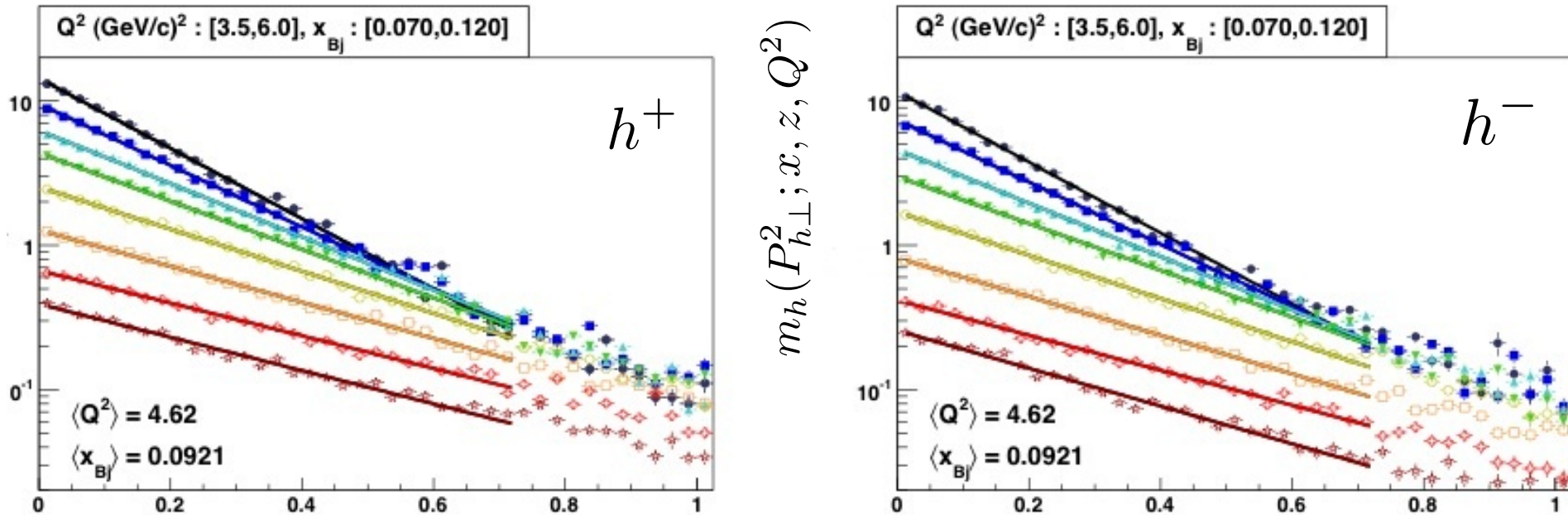


$$m_h(P_{h\perp}^2; x, z, Q^2) = \frac{d^{(4)}\sigma^{SIDIS}}{d^{(2)}\sigma^{DIS}} = \mathcal{A}_{\pm} \exp\left\{-\frac{P_{h\perp}^2}{\langle P_{h\perp}^2 \rangle_{\pm}}\right\}$$

Best-fit parameters

184 bin cinematici

COMPASS: fit di dati preliminari



$$m_h(P_{h\perp}^2; x, z, Q^2) = \frac{d^{(4)}\sigma^{SIDIS}}{d^{(2)}\sigma^{DIS}} = \mathcal{A}_{\pm} \exp\left\{-\frac{P_{h\perp}^2}{\langle P_{h\perp}^2 \rangle_{\pm}}\right\}$$

Il carattere *gaussiano* riflette la flavour independence nell'ipotesi gaussiana

Best-fit parameters

184 bin cinematici

COMPASS: fit di dati preliminari

$$1 < Q^2 < 10 \text{ GeV}^2$$

Massa invariante al quadrato
del fotone virtuale scambiato

$$0.0045 < x < 0.12$$

Frazione di impulso collineare
portato dal partone colpito

$$0.05 < z^2 < 0.56$$

Frazione dell'energia
del fotone virtuale
portata dall'adrone frammentato

COMPASS: fit di dati preliminari

$$1 < Q^2 < 10 \text{ GeV}^2$$

Massa invariante al quadrato
del fotone virtuale scambiato

$$0.0045 < x < 0.12$$

Frazione di impulso collineare
portato dal partone colpito

$$0.05 < z^2 < 0.56$$

Frazione dell'energia
del fotone virtuale
portata dall'adrone frammentato

Bin	$\langle z^2 \rangle_{h+}$	$\langle P_T^2 \rangle_{h+}$	A_{h+}	χ_{h+}^2/ndf	$\langle z^2 \rangle_{h-}$	$\langle P_T^2 \rangle_{h-}$	A_{h-}	χ_{h-}^2/ndf
81	0.05	0.21 ± 0.003	12.77 ± 0.046	7.6	0.05	0.21 ± 0.004	11.52 ± 0.045	5.2
82	0.08	0.24 ± 0.004	8.35 ± 0.034	5.7	0.08	0.23 ± 0.004	7.39 ± 0.033	3.9
83	0.11	0.26 ± 0.005	5.63 ± 0.027	2.3	0.11	0.25 ± 0.005	4.93 ± 0.026	4.2
84	0.14	0.28 ± 0.006	4.00 ± 0.023	2.6	0.14	0.27 ± 0.006	3.39 ± 0.021	3.4
85	0.20	0.30 ± 0.005	2.50 ± 0.013	2.4	0.20	0.28 ± 0.005	2.08 ± 0.012	5.4
86	0.30	0.31 ± 0.007	1.43 ± 0.009	4.6	0.30	0.29 ± 0.007	1.20 ± 0.009	4.0
87	0.42	0.31 ± 0.008	0.88 ± 0.007	5.7	0.42	0.28 ± 0.009	0.77 ± 0.007	7.0
88	0.56	0.27 ± 0.010	0.65 ± 0.007	11.0	0.56	0.23 ± 0.010	0.60 ± 0.007	11.2

Table C.9: Fit results for $0.018 < x_{Bj} < 0.025$ and $1 < Q^2 < 1.5 \text{ (GeV/c)}^2$. All variables are defined in the text except $A_{h+,-}$, the fitted Gaussian amplitude. Only statistical error were used for the fit, this explains the high χ^2 in the low z intervals where the statistical error is very small.

PROCEDIMENTO

Fit gaussiani flavour-independent
delle molteplicità adroniche preliminari

PROCEDIMENTO

Fit gaussiani flavour-independent
delle molteplicità adroniche preliminari



Set di pseudo-dati sperimentali
(molteplicità adroniche “random”)

PROCEDIMENTO

Fit gaussiani flavour-independent
delle molteplicità adroniche preliminari



Set di pseudo-dati sperimentali
(molteplicità adroniche “random”)



Fit flavour-dependent (non gaussiani)
degli pseudo-dati

METODO DELLE MOLTEPLICITA' RANDOM

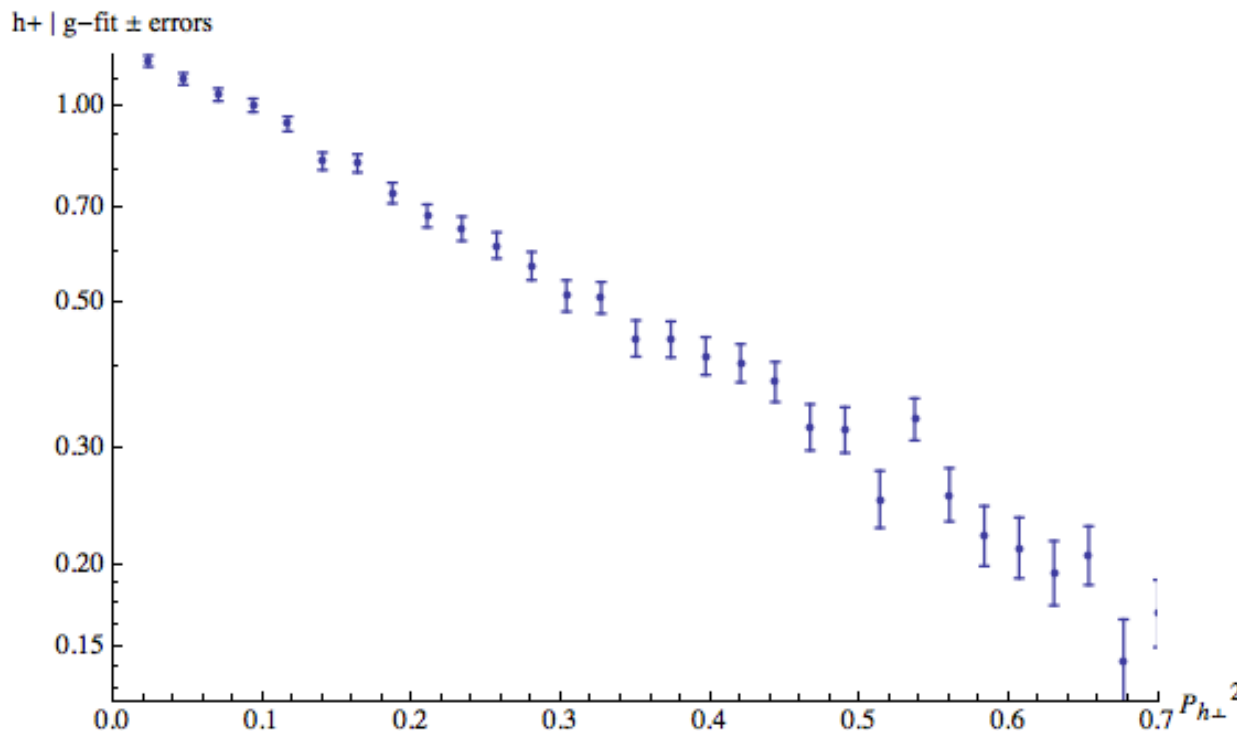
$$m_{h_{\pm}}(P_{h_{\perp}}^2; Y) = g_{C_{\pm}}(P_{h_{\perp}}^2; Y) + \mathcal{N}(0, \mathcal{E}_{\pm}(P_{h_{\perp}}^2; Y))$$

Rumore gaussiano
con media nulla e
deviazione standard

$$\mathcal{E}_{\pm}$$

calcolata mediante
propagazione degli errori
statistici sui parametri di
best-fit di COMPASS

$$\mathcal{A}_{\pm}, \langle P_{h_{\perp}}^2 \rangle_{\pm}$$



METODO DELLE MOLTEPLICITA' RANDOM

Deviazione standard totale

$$\mathcal{E}_{\pm}(P_{h\perp}^2; Y) = \sqrt{[b \Delta g_{C_{\pm}}(P_{h\perp}^2; Y)]^2 + [\lambda g_{C_{\pm}}(P_{h\perp}^2; Y)]^2}$$

METODO DELLE MOLTEPLICITA' RANDOM

Deviazione standard totale

$$\mathcal{E}_{\pm}(P_{h\perp}^2; Y) = \sqrt{[\mathbf{b} \Delta g_{C_{\pm}}(P_{h\perp}^2; Y)]^2 + [\lambda g_{C_{\pm}}(P_{h\perp}^2; Y)]^2}$$

componente statistica

METODO DELLE MOLTEPLICITA' RANDOM

Deviazione standard totale

$$\mathcal{E}_{\pm}(P_{h\perp}^2; Y) = \sqrt{[\mathbf{b} \Delta g_{C_{\pm}}(P_{h\perp}^2; Y)]^2 + [\lambda g_{C_{\pm}}(P_{h\perp}^2; Y)]^2}$$

componente statistica

Propagazione degli errori sui valori di best-fit per \mathcal{A}_{\pm} e $\langle P_{h\perp}^2 \rangle_{\pm}$

$$\Delta g_{C_{\pm}} = \sqrt{\left(\frac{\partial g_{C_{\pm}}}{\partial \mathcal{A}_{\pm}}\right)^2 (\Delta \mathcal{A}_{\pm})^2 + \left(\frac{\partial g_{C_{\pm}}}{\partial \langle P_{h\perp}^2 \rangle_{\pm}}\right)^2 (\Delta \langle P_{h\perp}^2 \rangle_{\pm})^2}$$

METODO DELLE MOLTEPLICITA' RANDOM

Deviazione standard totale

$$\mathcal{E}_{\pm}(P_{h\perp}^2; Y) = \sqrt{\underbrace{[\mathbf{b} \Delta g_{C_{\pm}}(P_{h\perp}^2; Y)]^2}_{\text{componente statistica}} + \underbrace{[\lambda g_{C_{\pm}}(P_{h\perp}^2; Y)]^2}_{\text{componente sistematica}}}$$

Propagazione degli errori sui valori di best-fit per \mathcal{A}_{\pm} e $\langle P_{h\perp}^2 \rangle_{\pm}$

$$\Delta g_{C_{\pm}} = \sqrt{\left(\frac{\partial g_{C_{\pm}}}{\partial \mathcal{A}_{\pm}}\right)^2 (\Delta \mathcal{A}_{\pm})^2 + \left(\frac{\partial g_{C_{\pm}}}{\partial \langle P_{h\perp}^2 \rangle_{\pm}}\right)^2 (\Delta \langle P_{h\perp}^2 \rangle_{\pm})^2}$$

REPLICHE STATISTICHE

Il **rumore gaussiano** viene **replicato** M volte

- Per ottenere *M set di pseudo-dati*

REPLICHE STATISTICHE

Il **rumore gaussiano** viene **replicato** M volte

- Per ottenere *M set di pseudo-dati*
- Consente di ottenere **distribuzioni per i valori di best-fit**

REPLICHE STATISTICHE

Il **rumore gaussiano** viene **replicato** M volte

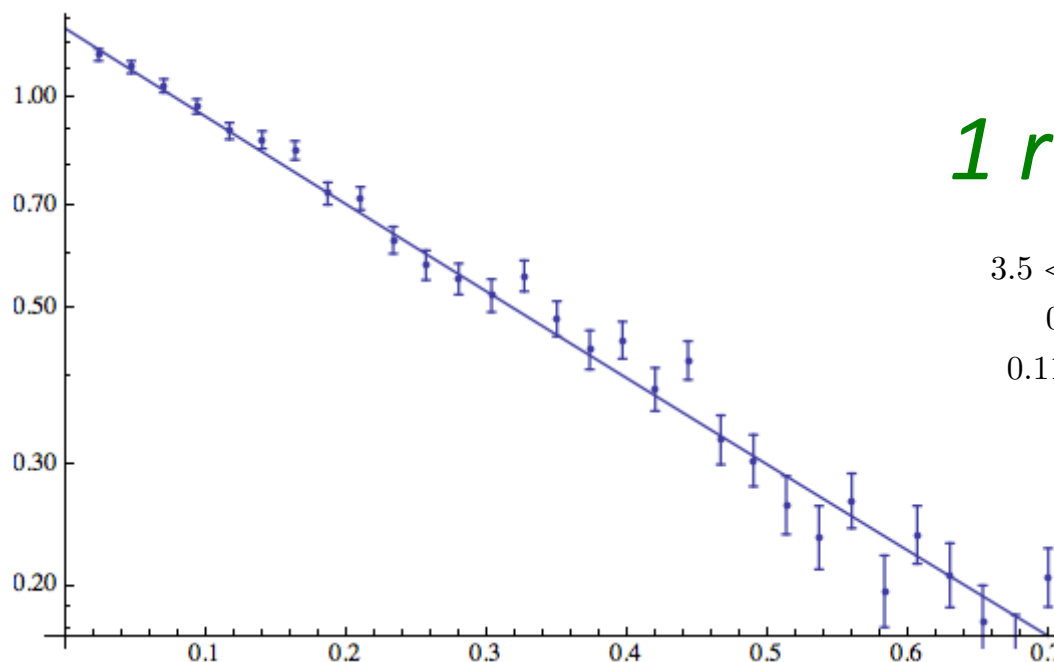
- Per ottenere *M set di pseudo-dati*
- Consente di ottenere **distribuzioni per i valori di best-fit**
- È virtualmente possibile valutare il comportamento dei valori di best-fit per varie **repliche dell'esperimento**

Minimizzazione del χ^2

$$\chi^2(v) = \sum_{\pi^\pm} \sum_{P_{h\perp}^2, Y} \frac{[m_h(P_{h\perp}^2, Y) - m_h^{FV}(P_{h\perp}^2, Y, v)]^2}{\mathcal{E}(P_{h\perp}^2, Y)^2}$$

$m_h^{FV}(P_{h\perp}^2)$

π^+



1 replica

$3.5 < Q^2 < 6 \text{ GeV}^2$

$0.07 < x < 0.12$

$0.11 < \langle z^2 \rangle < 0.56$

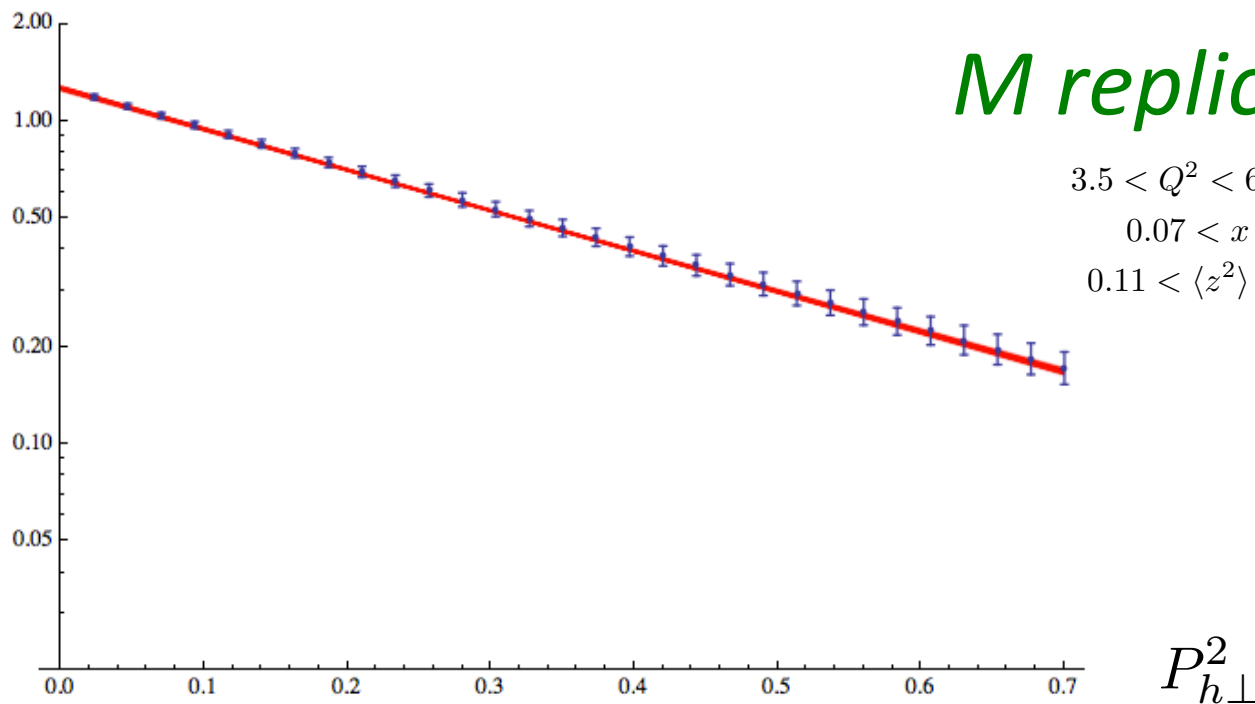
$P_{h\perp}^2$

Minimizzazione del χ^2

$$\chi^2(v) = \sum_{\pi^\pm} \sum_{P_{h\perp}^2, Y} \frac{[m_h(P_{h\perp}^2, Y) - m_h^{FV}(P_{h\perp}^2, Y, v)]^2}{\mathcal{E}(P_{h\perp}^2, Y)^2}$$

$$m_h^{FV}(P_{h\perp}^2)$$

π^+

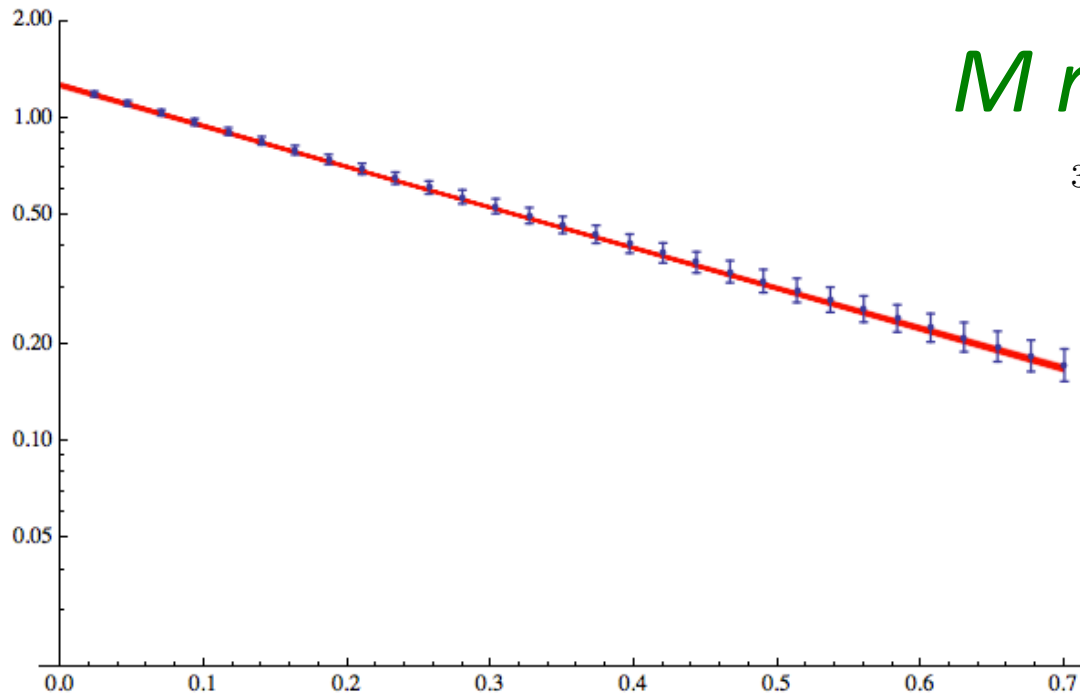


Minimizzazione del χ^2

$$\chi^2(v) = \sum_{\pi^\pm} \sum_{P_{h\perp}^2, Y} \frac{[m_h(P_{h\perp}^2, Y) - m_h^{FV}(P_{h\perp}^2, Y, v)]^2}{\mathcal{E}(P_{h\perp}^2, Y)^2}$$

$$m_h^{FV}(P_{h\perp}^2)$$

π^+



M repliche

$$3.5 < Q^2 < 6 \text{ GeV}^2$$

$$0.07 < x < 0.12$$

$$0.11 < \langle z^2 \rangle < 0.56$$

FLAVOUR ANALYSIS

Molteplicità *flavour-independent*

$$m_{h_{\pm}}(P_{h_{\perp}}^2; x, z, Q^2) = \pi \frac{\sum_a [e_a^2 f_1^a(x, Q^2) D_1^{a \rightarrow \pi^{\pm}}(z, Q^2)]}{\sum_a e_a^2 f_1^a(x, Q^2)} \frac{e^{-\frac{P_{h_{\perp}}^2}{z^2 \langle p_T^2 \rangle + \langle K_T^2 \rangle}}}{\pi(z^2 \langle p_T^2 \rangle + \langle K_T^2 \rangle)}$$

FLAVOUR ANALYSIS

Molteplicità *flavour-independent*

$$m_{h_{\pm}}(P_{h_{\perp}}^2; x, z, Q^2) = \pi \frac{\sum_a [e_a^2 f_1^a(x, Q^2) D_1^{a \rightarrow \pi^{\pm}}(z, Q^2)]}{\sum_a e_a^2 f_1^a(x, Q^2)} \frac{e^{-\frac{P_{h_{\perp}}^2}{z^2 \langle p_T^2 \rangle + \langle K_T^2 \rangle}}}{\pi(z^2 \langle p_T^2 \rangle + \langle K_T^2 \rangle)}$$

Generalizziamo questa espressione introducendo *una gaussiana per ogni flavour*

$$\langle p_{T,\text{up}}^2 \rangle , \langle p_{T,\text{down}}^2 \rangle , \langle p_{T,\text{sea}}^2 \rangle$$

(idem per i processi di frammentazione)

Isospin symmetry and charge-conjugation

- Funzioni di frammentazione **simmetriche** per simultaneo **scambio di quark up e down** (isospin symmetry) e **coniugazione di carica** dell'adrone rilevato (charge-conjugation)

$$D_1^{u \rightarrow \pi^+} = D_1^{d \rightarrow \pi^-}$$

$$D_1^{u \rightarrow \pi^-} = D_1^{d \rightarrow \pi^+}$$

Isospin symmetry and charge-conjugation

- Distinguiamo i processi di frammentazione in:

1. Favored:

$$\begin{aligned} D_1^{u \rightarrow \pi^+} &= D_1^{d \rightarrow \pi^-} \doteq D_1^{\text{fav}} \\ D_1^{\bar{u} \rightarrow \pi^-} &= D_1^{\bar{d} \rightarrow \pi^+} \doteq D_1^{\text{fav}} \end{aligned}$$

2. Unfavored:

$$\begin{aligned} D_1^{u \rightarrow \pi^-} &= D_1^{d \rightarrow \pi^+} \doteq D_1^{\text{unf}} \\ D_1^{\bar{u} \rightarrow \pi^+} &= D_1^{\bar{d} \rightarrow \pi^-} \doteq D_1^{\text{unf}} \end{aligned}$$

$$\pi^+ (u\bar{d}), \pi^- (\bar{u}d)$$

A seconda che il partone
che frammenta sia un quark di valenza dell'adrone
Rivelato o meno

$$\begin{aligned}
m_{\pi^+}(x, z, Q^2, P_{h\perp}^2) &= \frac{\pi n}{\sum_a e_a^2 f_1^a(x, Q^2)} \cdot \\
&\cdot \left\{ e_u^2 f_1^{uv}(x, Q^2) D_1^{fav}(z, Q^2) \frac{e^{-\frac{-P_{h\perp}^2}{z^2 u + F}}}{\pi(z^2 u + F)} + \right. \\
&+ e_d^2 f_1^{dv}(x, Q^2) D_1^{unf}(z, Q^2) \frac{e^{-\frac{-P_{h\perp}^2}{z^2 d + U}}}{\pi(z^2 d + U)} + \\
&+ e_{st}^2 f_1^{stv}(x, Q^2) D_1^{unf}(z, Q^2) \frac{e^{-\frac{-P_{h\perp}^2}{z^2 s + U}}}{\pi(z^2 s + U)} + \\
&+ e_u^2 f_1^{u-u_v}(x, Q^2) D_1^{fav}(z, Q^2) \frac{e^{-\frac{-P_{h\perp}^2}{z^2 s + F}}}{\pi(z^2 s + F)} + \\
&+ e_{\bar{u}}^2 f_1^{\bar{u}}(x, Q^2) D_1^{unf}(z, Q^2) \frac{e^{-\frac{-P_{h\perp}^2}{z^2 s + U}}}{\pi(z^2 s + U)} + \\
&+ e_d^2 f_1^{d-d_v}(x, Q^2) D_1^{unf}(z, Q^2) \frac{e^{-\frac{-P_{h\perp}^2}{z^2 s + U}}}{\pi(z^2 s + U)} + \\
&+ e_{\bar{d}}^2 f_1^{\bar{d}}(x, Q^2) D_1^{fav}(z, Q^2) \frac{e^{-\frac{-P_{h\perp}^2}{z^2 s + F}}}{\pi(z^2 s + F)} + \\
&+ e_{st}^2 f_1^{st-st_v}(x, Q^2) D_1^{unf}(z, Q^2) \frac{e^{-\frac{-P_{h\perp}^2}{z^2 s + U}}}{\pi(z^2 s + U)} + \\
&\left. + e_{st}^2 f_1^{\bar{st}}(x, Q^2) D_1^{unf}(z, Q^2) \frac{e^{-\frac{-P_{h\perp}^2}{z^2 s + U}}}{\pi(z^2 s + U)} \right\},
\end{aligned}$$

π^+

$$\begin{aligned}
m_{\pi^-}(x, z, Q^2, P_{h\perp}^2) &= \frac{\pi n}{\sum_a e_a^2 f_1^a(x, Q^2)} \cdot \\
&\cdot \left\{ e_u^2 f_1^{uv}(x, Q^2) D_1^{unf}(z, Q^2) \frac{e^{-\frac{-P_{h\perp}^2}{z^2 u + U}}}{\pi(z^2 u + U)} + \right. \\
&+ e_d^2 f_1^{dv}(x, Q^2) D_1^{fav}(z, Q^2) \frac{e^{-\frac{-P_{h\perp}^2}{z^2 d + F}}}{\pi(z^2 d + F)} + \\
&+ e_{st}^2 f_1^{stv}(x, Q^2) D_1^{unf}(z, Q^2) \frac{e^{-\frac{-P_{h\perp}^2}{z^2 s + U}}}{\pi(z^2 s + U)} + \\
&+ e_u^2 f_1^{u-u_v}(x, Q^2) D_1^{unf}(z, Q^2) \frac{e^{-\frac{-P_{h\perp}^2}{z^2 s + U}}}{\pi(z^2 s + U)} + \\
&+ e_{\bar{u}}^2 f_1^{\bar{u}}(x, Q^2) D_1^{fav}(z, Q^2) \frac{e^{-\frac{-P_{h\perp}^2}{z^2 s + F}}}{\pi(z^2 s + F)} + \\
&+ e_d^2 f_1^{d-d_v}(x, Q^2) D_1^{fav}(z, Q^2) \frac{e^{-\frac{-P_{h\perp}^2}{z^2 s + F}}}{\pi(z^2 s + F)} + \\
&+ e_{\bar{d}}^2 f_1^{\bar{d}}(x, Q^2) D_1^{unf}(z, Q^2) \frac{e^{-\frac{-P_{h\perp}^2}{z^2 s + U}}}{\pi(z^2 s + U)} + \\
&+ e_{st}^2 f_1^{st-st_v}(x, Q^2) D_1^{unf}(z, Q^2) \frac{e^{-\frac{-P_{h\perp}^2}{z^2 s + U}}}{\pi(z^2 s + U)} + \\
&\left. + e_{st}^2 f_1^{\bar{st}}(x, Q^2) D_1^{unf}(z, Q^2) \frac{e^{-\frac{-P_{h\perp}^2}{z^2 s + U}}}{\pi(z^2 s + U)} \right\}.
\end{aligned}$$

π^-

MOMENTI TRASVERSI E CINEMATICA

$$\lim_{\substack{x \rightarrow 0 \\ x \rightarrow 1}} \langle p_{T,a}^2 \rangle(x, Q^2) = 0$$

$$\lim_{\substack{z \rightarrow 0 \\ z \rightarrow 1}} \langle K_{T,j}^2 \rangle(z, Q^2) = 0$$

MOMENTI TRASVERSI E CINEMATICA

$$\lim_{\substack{x \rightarrow 0 \\ x \rightarrow 1}} \langle p_{T,a}^2 \rangle(x, Q^2) = 0$$

$$\lim_{\substack{z \rightarrow 0 \\ z \rightarrow 1}} \langle K_{T,j}^2 \rangle(z, Q^2) = 0$$

TMD
evolution

$$\langle p_{T,a}^2 \rangle(x, Q^2) \sim 1 + \ln \frac{Q^2}{Q_0^2}$$

$$\langle K_{T,j}^2 \rangle(z, Q^2) \sim 1 + \ln \frac{Q^2}{Q_0^2}$$

MOMENTI TRASVERSI E CINEMATICA

$$\langle p_{T,a}^2 \rangle(x, Q^2) = N_a x^{\alpha_a} (1-x)^{\beta_a} \left[1 + \ln \left(\frac{Q^2}{Q_0^2} \right) \right]$$

Parametri di best-fit

$$Q_0^2 = 1 \text{ GeV}^2$$

$$\langle K_{T,j}^2 \rangle(z, Q^2) = N_j z^{\alpha_j} (1-z)^{\beta_j} \left[1 + \ln \left(\frac{Q^2}{Q_0^2} \right) \right]$$

ANALISI GLOBALE

Fit combinato su 84 bin cinematici forniti da
COMPASS, per π^+ e π^-

$$1.5 < Q^2 < 10 \text{ GeV}^2$$

$$0.012 < x < 0.12$$

$$0.08 < \langle z^2 \rangle < 0.56$$

ANALISI GLOBALE

Fit combinato su 84 bin cinematici forniti da
COMPASS, per π^+ e π^-



184 \rightarrow 84 bin

selection criterion

$$\chi^2/\text{dof}_{\text{Raj}} < 4$$

$$1.5 < Q^2 < 10 \text{ GeV}^2$$

$$0.012 < x < 0.12$$

$$0.08 < \langle z^2 \rangle < 0.56$$

ANALISI GLOBALE

Fit combinato su 84 bin cinematici forniti da COMPASS, per π^+ e π^-



184 \rightarrow 84 bin

selection criterion

$$\chi^2/\text{dof}_{\text{Raj}} < 4$$

$$1.5 < Q^2 < 10 \text{ GeV}^2$$

$$0.012 < x < 0.12$$

$$0.08 < \langle z^2 \rangle < 0.56$$

Errore statistico: **raddoppiato** rispetto al valore calcolato da COMPASS

ANALISI GLOBALE

Fit combinato su 84 bin cinematici forniti da COMPASS, per π^+ e π^-



184 \rightarrow 84 bin

selection criterion

$$\chi^2/\text{dof}_{\text{Raj}} < 4$$

$$1.5 < Q^2 < 10 \text{ GeV}^2$$

$$0.012 < x < 0.12$$

$$0.08 < \langle z^2 \rangle < 0.56$$

Errore statistico: **raddoppiato** rispetto al valore calcolato da COMPASS

Si introduce un **errore sistematico** pari al **10%** del valore della molteplicità

ANALISI GLOBALE

Fit combinato su 84 bin cinematici forniti da COMPASS, per π^+ e π^-



184 \rightarrow 84 bin

selection criterion
 $\chi^2/\text{dof}_{\text{Raj}} < 4$

$$1.5 < Q^2 < 10 \text{ GeV}^2$$

$$0.012 < x < 0.12$$

$$0.08 < \langle z^2 \rangle < 0.56$$

Errore statistico: raddoppiato rispetto al valore calcolato da COMPASS

Si introduce un **errore sistematico** pari al **10%** del valore della molteplicità

$$\mathcal{E}_{\pm}(P_{h\perp}^2; Y) = \sqrt{[b \Delta g_{C\pm}(P_{h\perp}^2; Y)]^2 + [\lambda g_{C\pm}(P_{h\perp}^2; Y)]^2}$$

$$b = 2$$
$$\lambda = 0.1$$

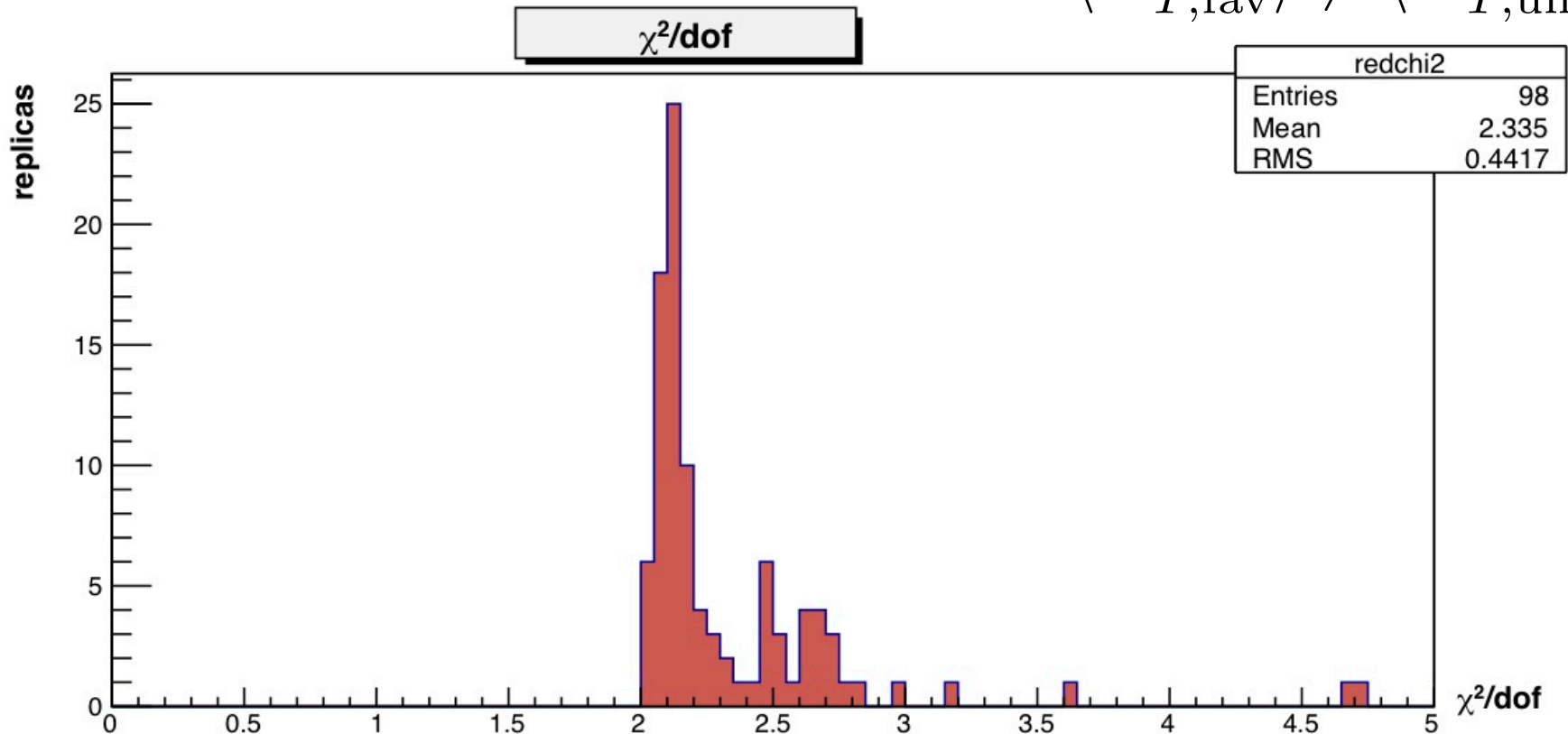
RISULTATI

TEST DI FLAVOUR-DEPENDENCE

$$\langle \chi^2 / dof \rangle = 2.335$$

$$\langle p_{T,\text{up}}^2 \rangle \neq \langle p_{T,\text{down}}^2 \rangle \neq \langle p_{T,\text{sea}}^2 \rangle$$

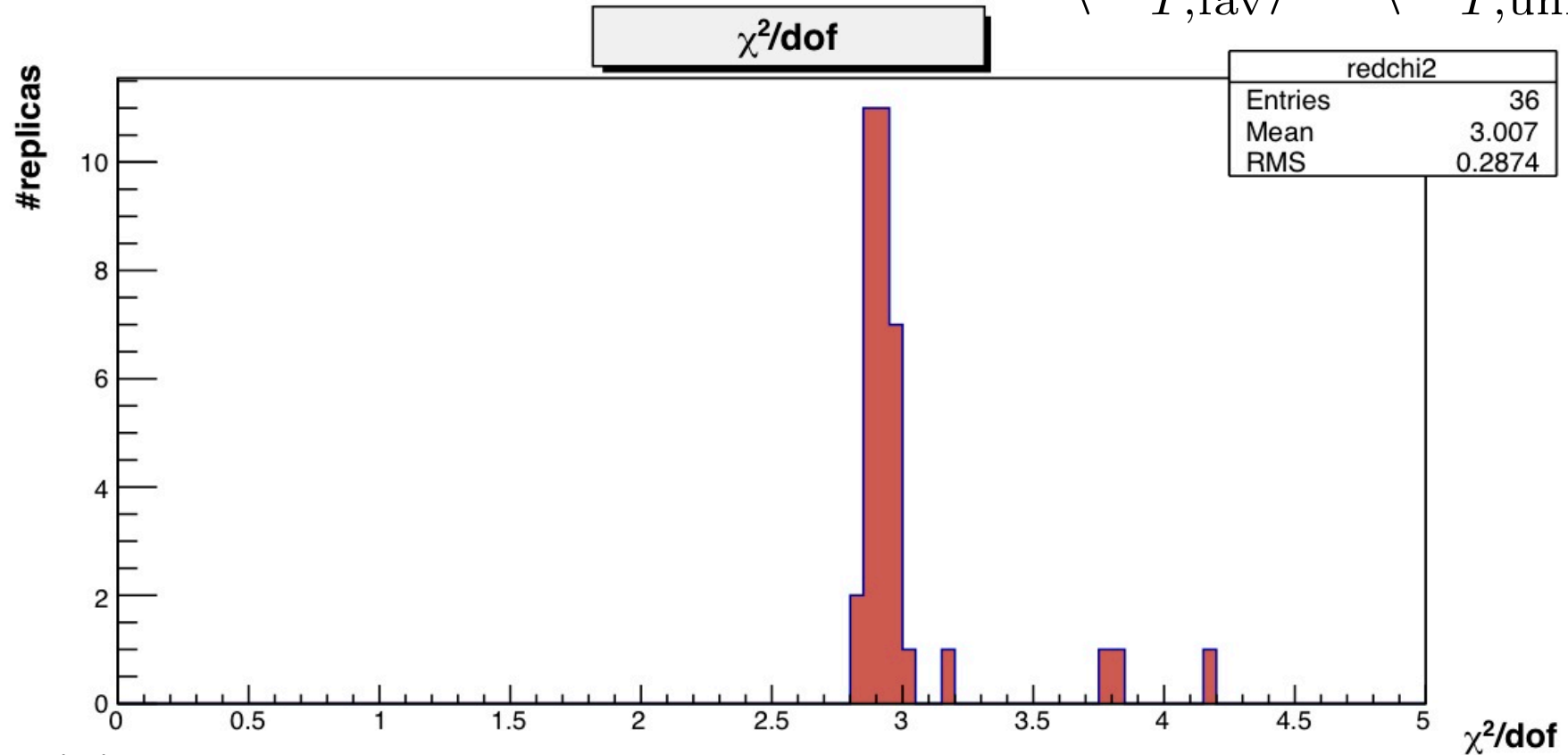
$$\langle K_{T,\text{fav}}^2 \rangle \neq \langle K_{T,\text{unf}}^2 \rangle$$



TEST DI FLAVOUR-INDEPENDENCE

$$\langle \chi^2 / dof \rangle = 3.007$$

$$\langle p_{T,\text{up}}^2 \rangle = \langle p_{T,\text{down}}^2 \rangle = \langle p_{T,\text{sea}}^2 \rangle$$
$$\langle K_{T,\text{fav}}^2 \rangle = \langle K_{T,\text{unf}}^2 \rangle$$



TEST DI FLAVOUR-DEPENDENCE

$$\text{sea} \approx \text{up} > \text{down}$$

Comportamento **globale in x e Q^2**

$$2.5 < Q^2 < 3.5 \text{ GeV}^2 \quad , \quad 0.04 < x < 0.07$$

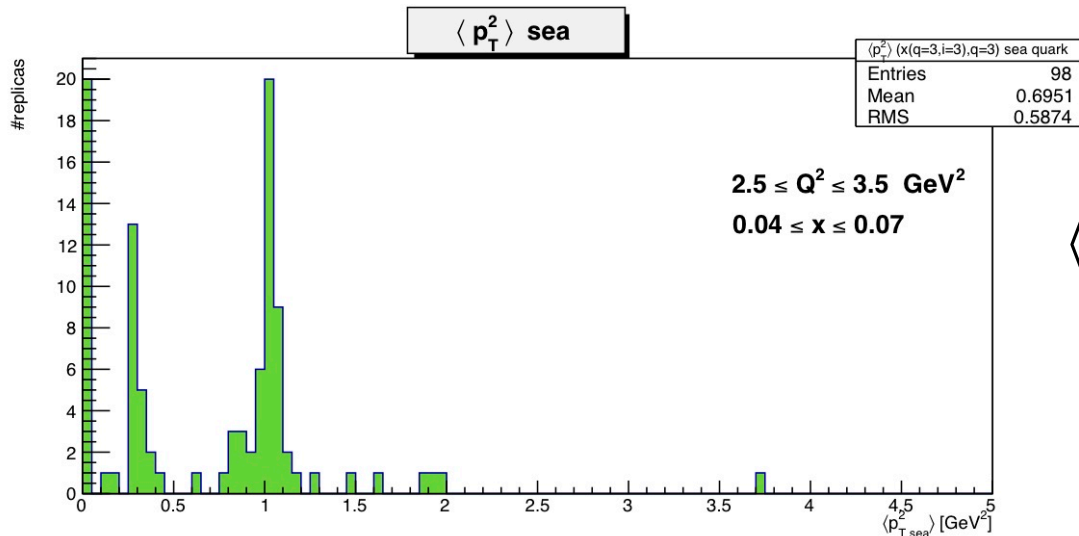
$$\langle p_{T,\text{up}}^2 \rangle = 0.60 \pm 0.53 \text{ GeV}^2$$

$$\langle p_{T,\text{down}}^2 \rangle = 0.56 \pm 0.99$$

$$\langle p_{T,\text{sea}}^2 \rangle = 0.69 \pm 0.58$$

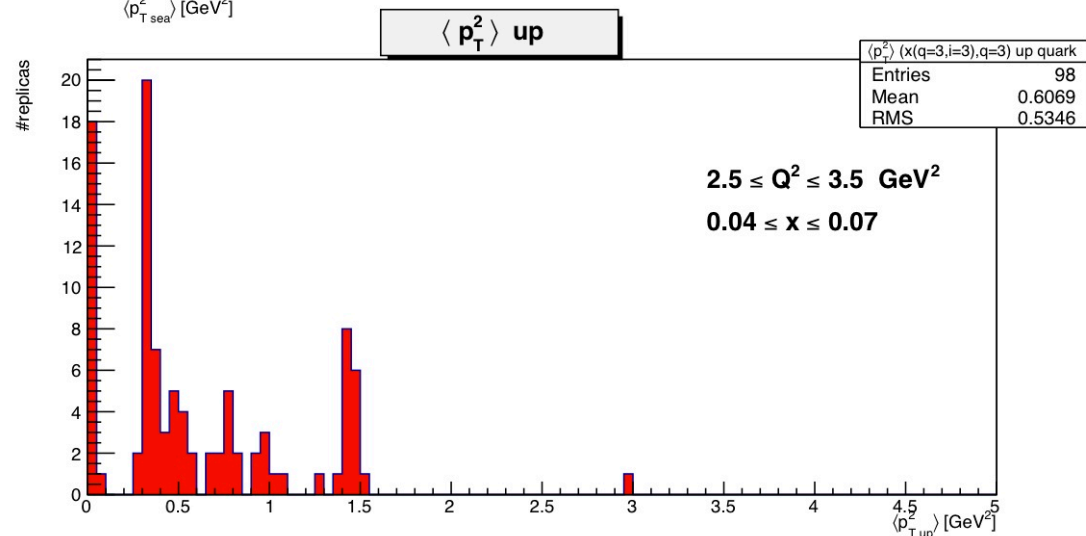
Valori medi
ed errori statistici

TEST DI FLAVOUR-DEPENDENCE

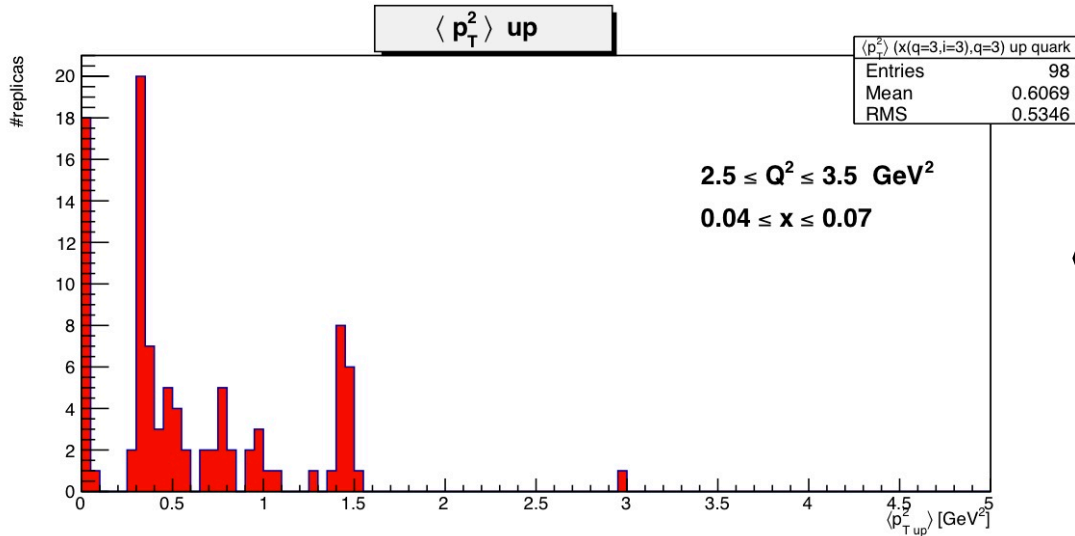


$$\langle p_{T,sea}^2 \rangle = 0.69 \pm 0.58 \text{ GeV}^2$$

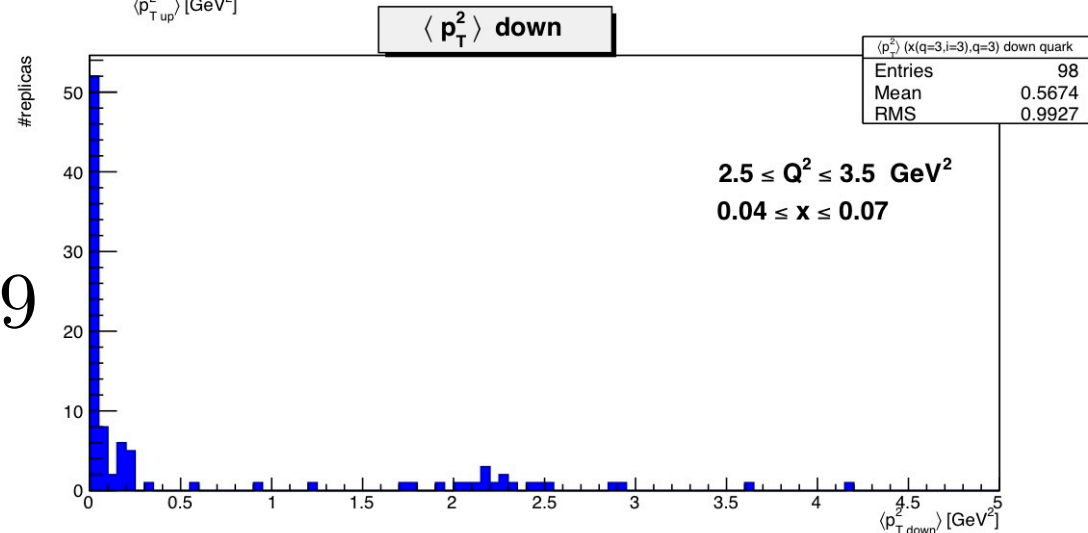
$$\langle p_{T,up}^2 \rangle = 0.60 \pm 0.53 \text{ GeV}^2$$



TEST DI FLAVOUR-DEPENDENCE



$$\langle p_{T,up}^2 \rangle = 0.60 \pm 0.53 \text{ GeV}^2$$



$$\langle p_{T,down}^2 \rangle = 0.56 \pm 0.99 \text{ GeV}^2$$

TEST DI FLAVOUR-DEPENDENCE

$$\text{sea} \approx \text{up} > \text{down}$$

Comportamento **globale in x e Q^2**

$$3.5 < Q^2 < 6 \text{ GeV}^2, \quad 0.07 < x < 0.12$$

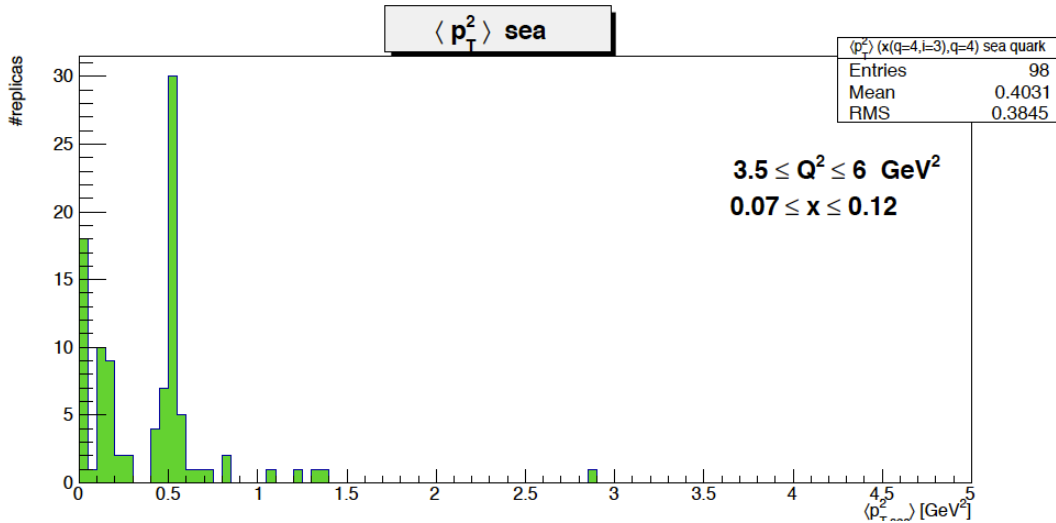
$$\langle p_{T,\text{up}}^2 \rangle = 0.45 \pm 0.29 \text{ GeV}^2$$

$$\langle p_{T,\text{down}}^2 \rangle = 0.36 \pm 0.50$$

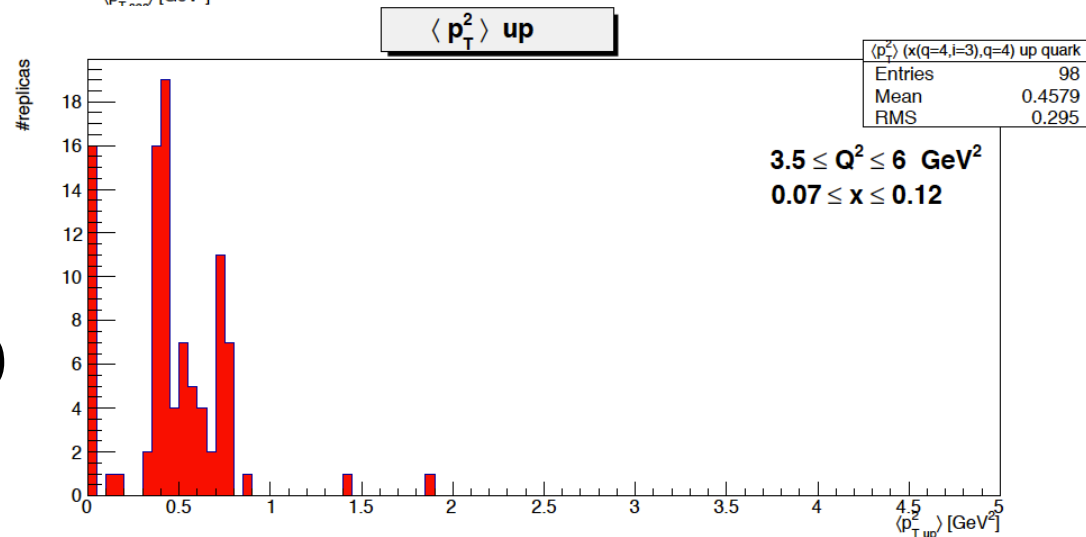
$$\langle p_{T,\text{sea}}^2 \rangle = 0.40 \pm 0.38$$

Valori medi
ed errori statistici

TEST DI FLAVOUR-DEPENDENCE

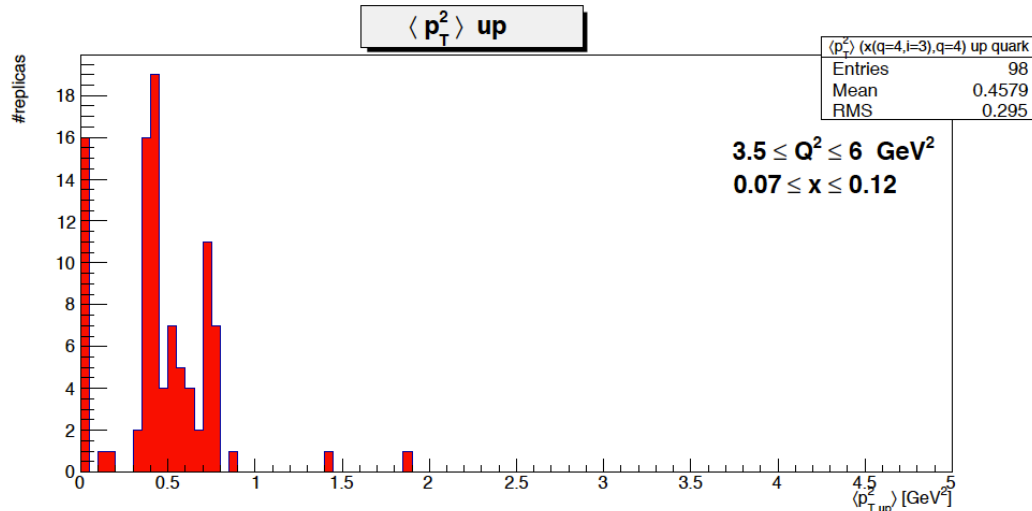


$$\langle p_{T,\text{sea}}^2 \rangle = 0.40 \pm 0.38 \text{ GeV}^2$$



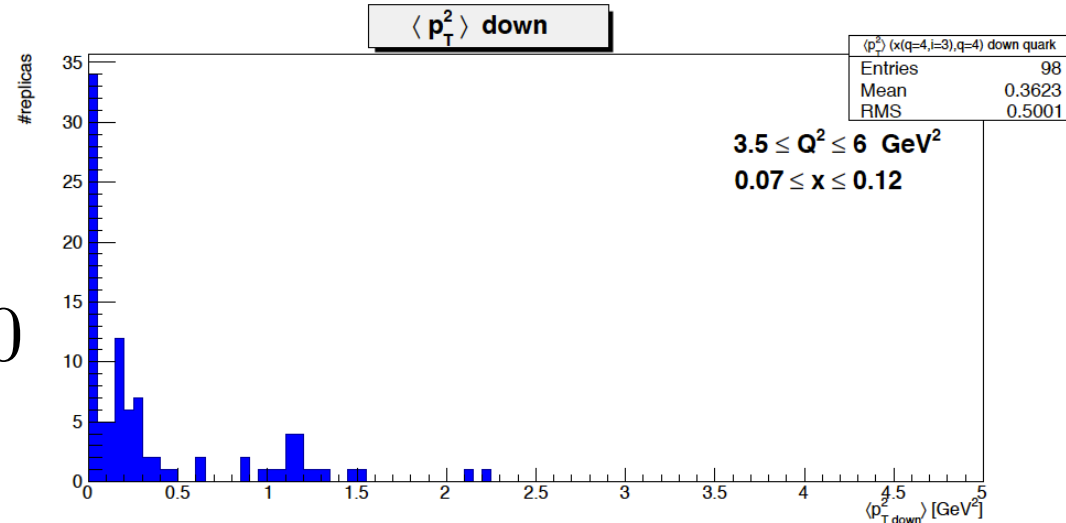
$$\langle p_{T,\text{up}}^2 \rangle = 0.45 \pm 0.29 \text{ GeV}^2$$

TEST DI FLAVOUR-DEPENDENCE



$$\langle p_{T,\text{up}}^2 \rangle = 0.45 \pm 0.29$$

$$\langle p_{T,\text{down}}^2 \rangle = 0.36 \pm 0.50$$



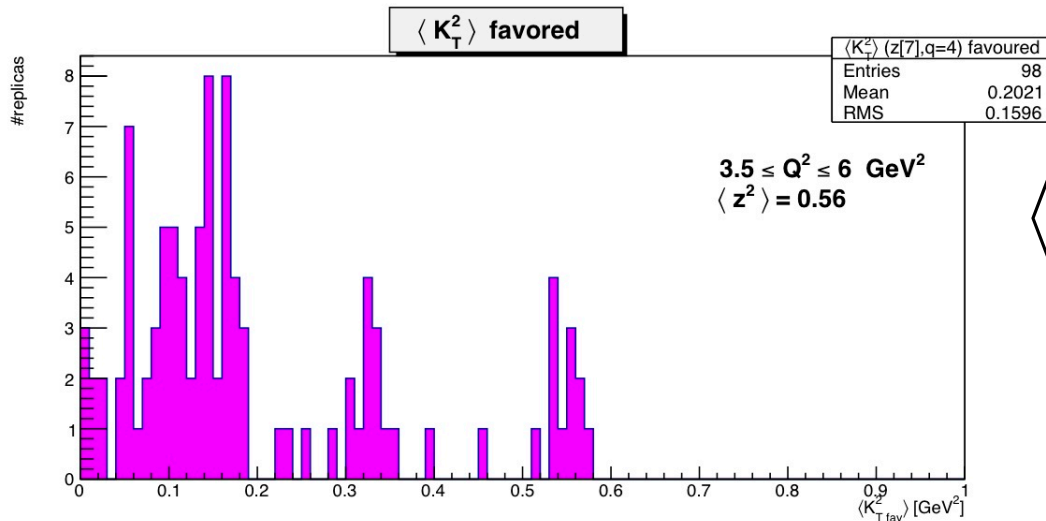
TEST DI FLAVOUR-DEPENDENCE

$$\langle K_{T,\text{fav}}^2 \rangle < \langle K_{T,\text{unf}}^2 \rangle \quad \text{for low } z \text{ values}$$
$$\langle K_{T,\text{fav}}^2 \rangle > \langle K_{T,\text{unf}}^2 \rangle \quad \text{for high } z \text{ values}$$

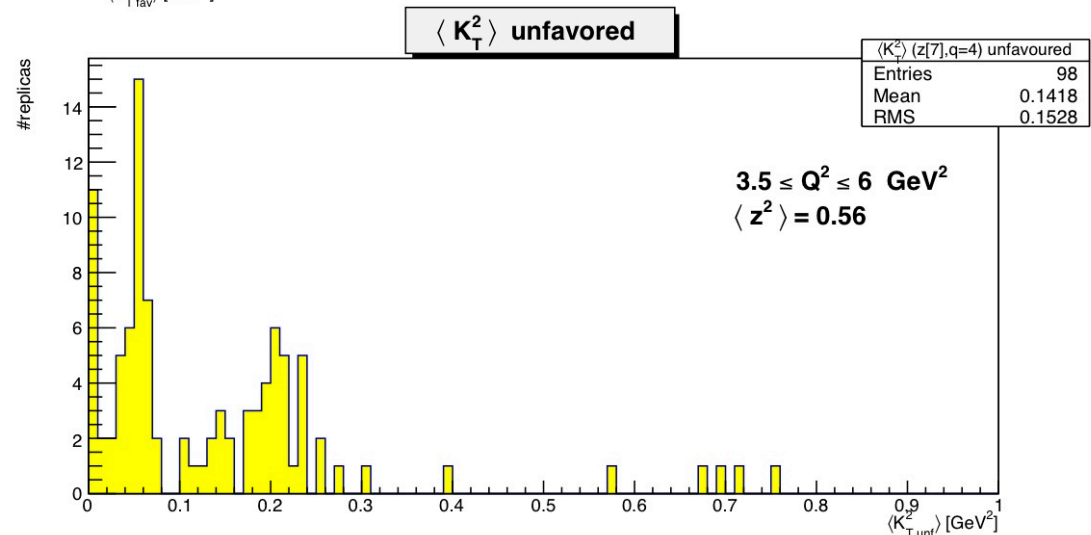
$\langle z^2 \rangle$	$\langle K_{T,\text{fav}}^2 \rangle$ [GeV ²]	$\langle K_{T,\text{unf}}^2 \rangle$ [GeV ²]
0.08	0.19 ± 0.08	0.21 ± 0.05
0.14	0.24 ± 0.07	0.23 ± 0.10
0.56	0.20 ± 0.15	0.14 ± 0.15

Table 4.7: Mean values and standard deviations for $\langle K_T^2 \rangle(z, Q^2)$ for different z values, with $3.5 < Q^2 < 6$.

TEST DI FLAVOUR-DEPENDENCE



$$\langle K_{T,\text{fav}}^2 \rangle = 0.20 \pm 0.15 \text{ GeV}^2$$



$$\langle K_{T,\text{unf}}^2 \rangle = 0.14 \pm 0.15 \text{ GeV}^2$$

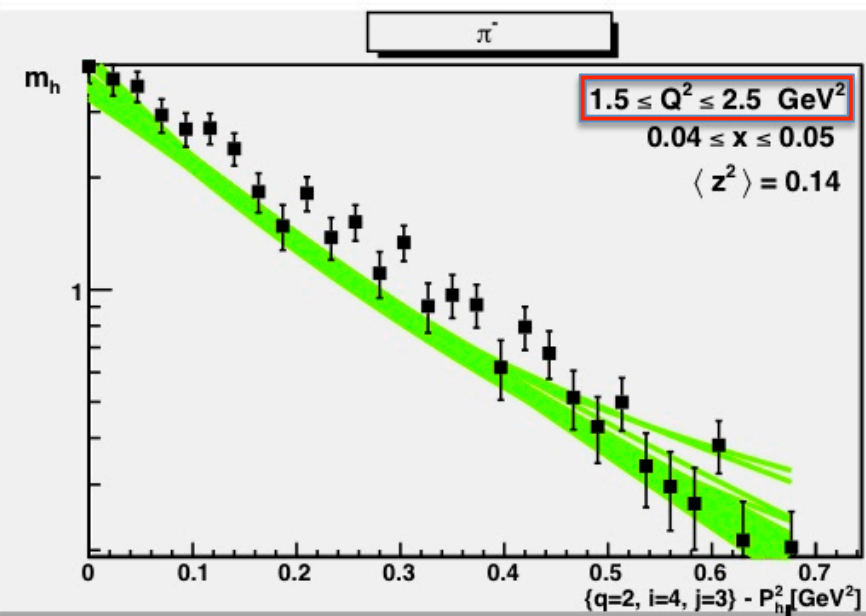
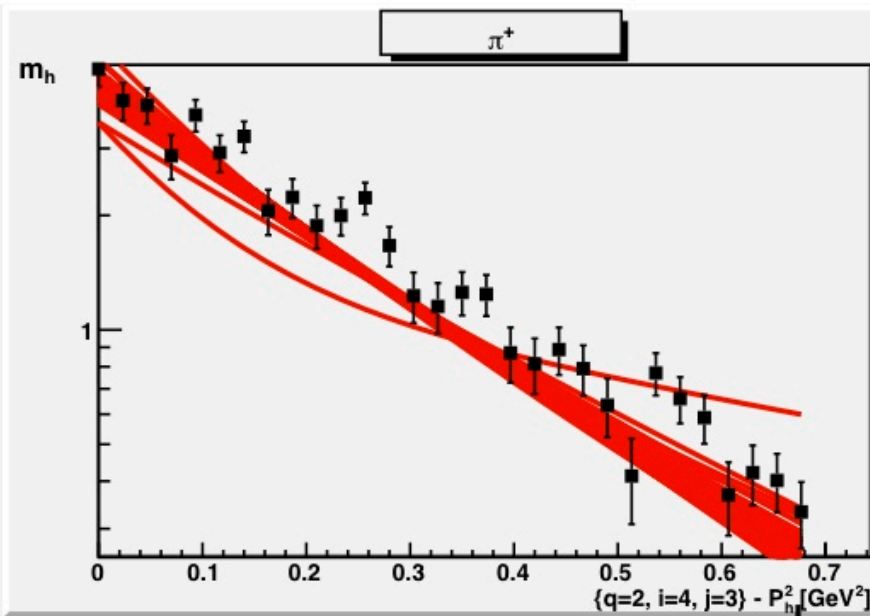
TEST DI FLAVOUR-DEPENDENCE

Criterio di selezione sulle repliche:

$$\chi^2/dof < 5$$

$$\langle p_{T,\text{up}}^2 \rangle \neq \langle p_{T,\text{down}}^2 \rangle \neq \langle p_{T,\text{sea}}^2 \rangle$$

$$\langle K_{T,\text{fav}}^2 \rangle \neq \langle K_{T,\text{unf}}^2 \rangle$$



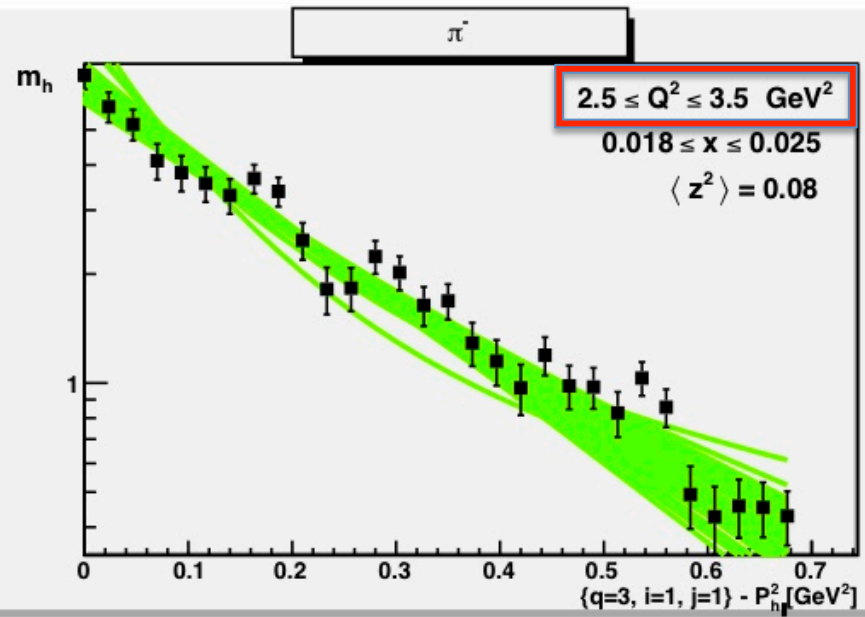
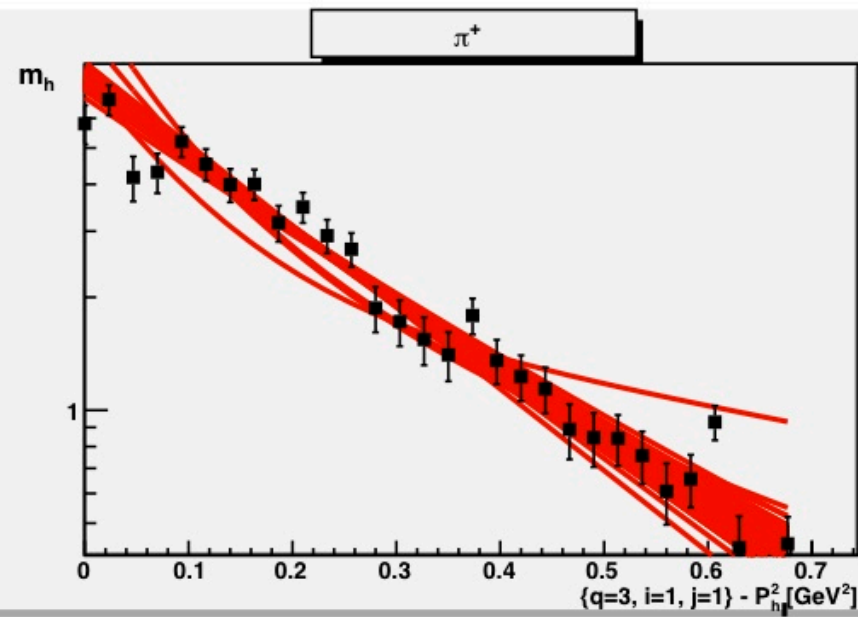
TEST DI FLAVOUR-DEPENDENCE

Criterio di selezione sulle repliche:

$$\chi^2/dof < 5$$

$$\langle p_{T,\text{up}}^2 \rangle \neq \langle p_{T,\text{down}}^2 \rangle \neq \langle p_{T,\text{sea}}^2 \rangle$$

$$\langle K_{T,\text{fav}}^2 \rangle \neq \langle K_{T,\text{unf}}^2 \rangle$$



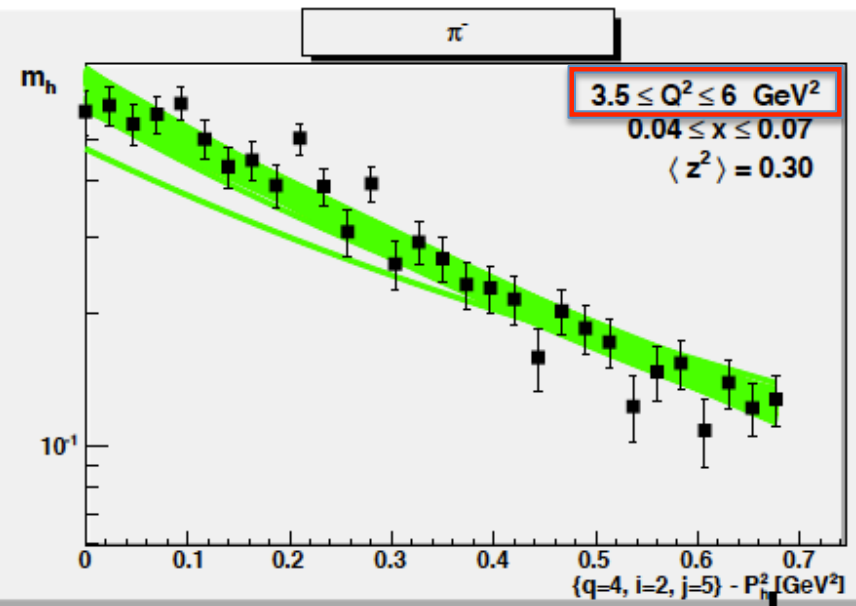
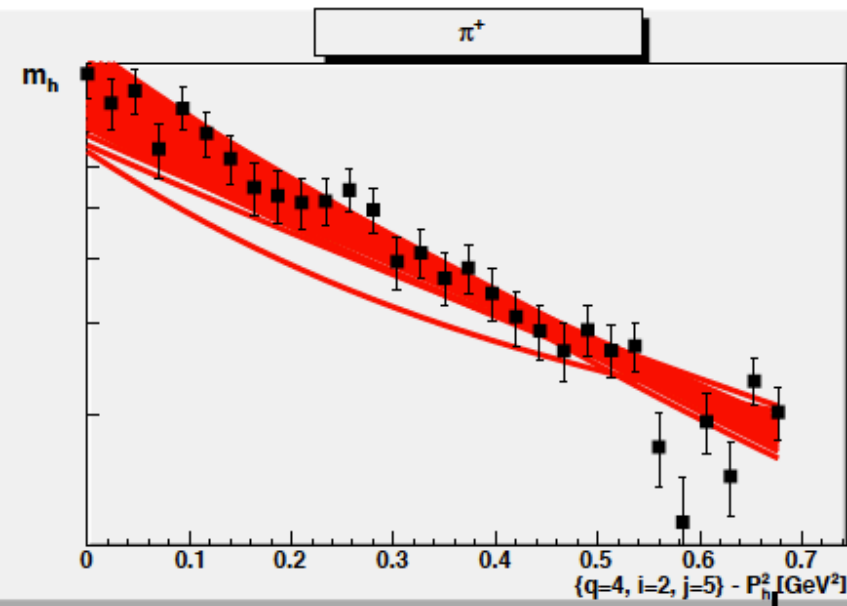
TEST DI FLAVOUR-DEPENDENCE

Criterio di selezione sulle repliche:

$$\chi^2 / dof < 5$$

$$\langle p_{T,\text{up}}^2 \rangle \neq \langle p_{T,\text{down}}^2 \rangle \neq \langle p_{T,\text{sea}}^2 \rangle$$

$$\langle K_{T,\text{fav}}^2 \rangle \neq \langle K_{T,\text{unf}}^2 \rangle$$



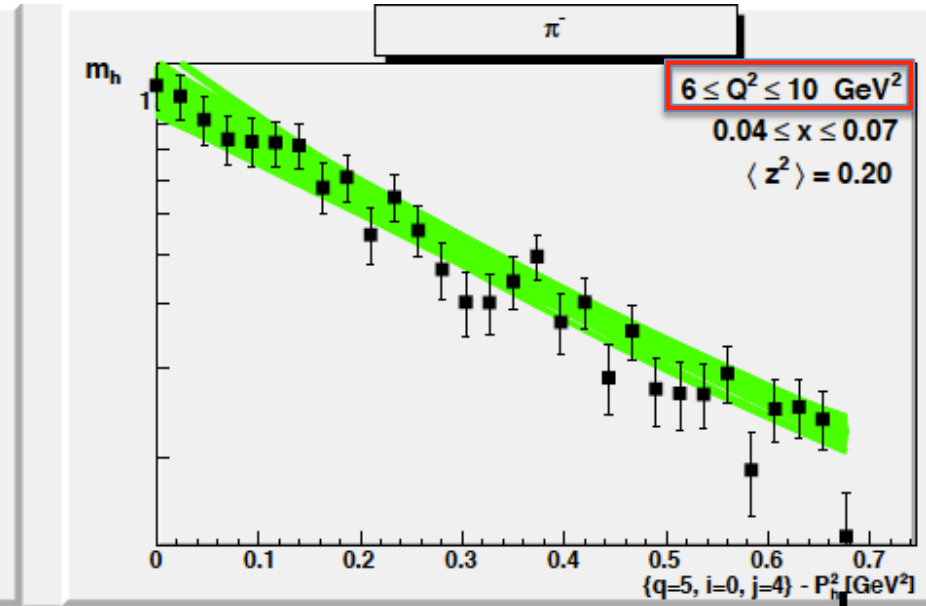
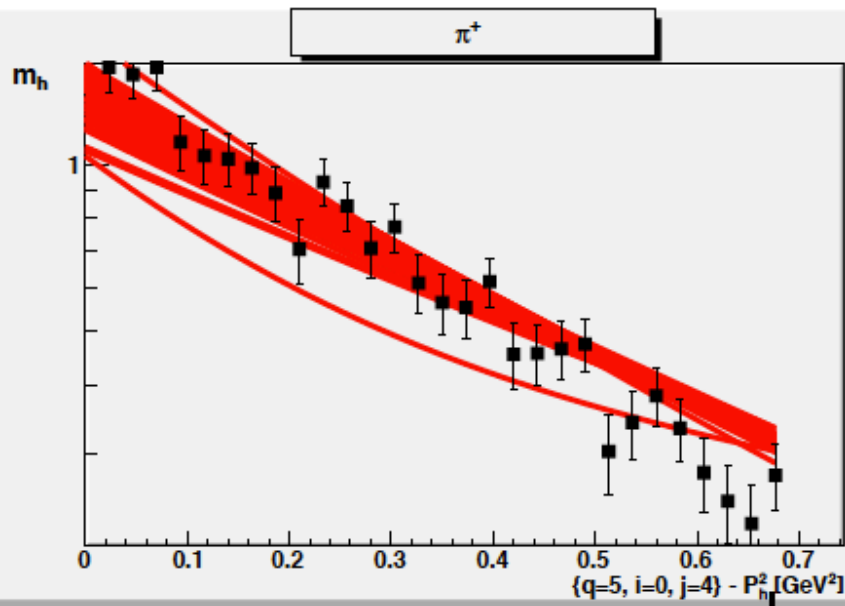
TEST DI FLAVOUR-DEPENDENCE

Criterio di selezione sulle repliche:

$$\chi^2/dof < 5$$

$$\langle p_{T,\text{up}}^2 \rangle \neq \langle p_{T,\text{down}}^2 \rangle \neq \langle p_{T,\text{sea}}^2 \rangle$$

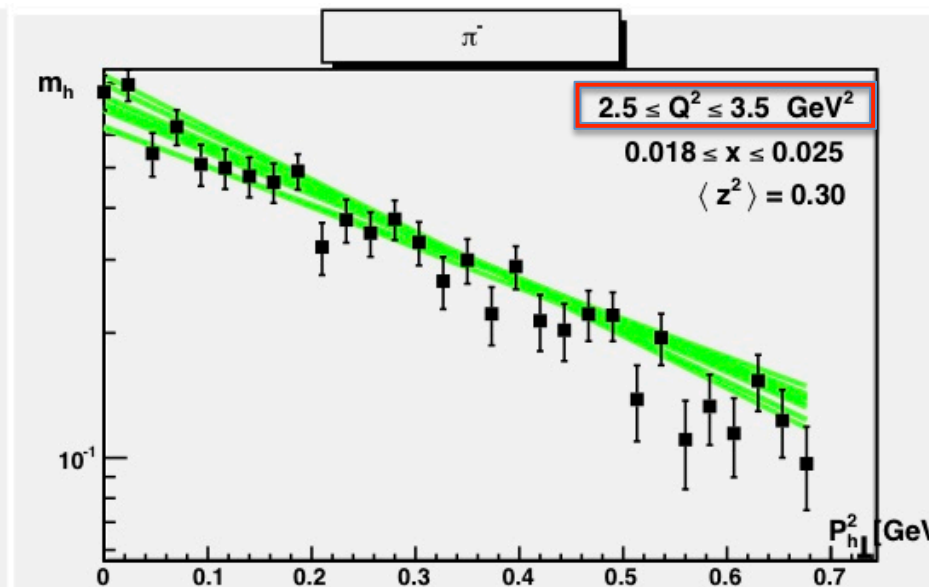
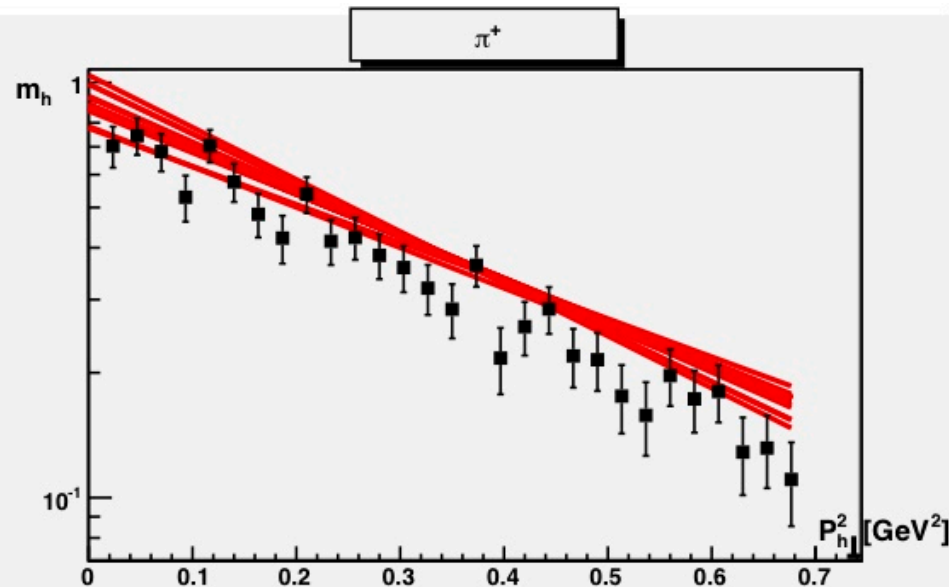
$$\langle K_{T,\text{fav}}^2 \rangle \neq \langle K_{T,\text{unf}}^2 \rangle$$



TEST DI FLAVOUR-INDEPENDENCE

Si fittano due set di *dati differenti* con la *stessa funzione*

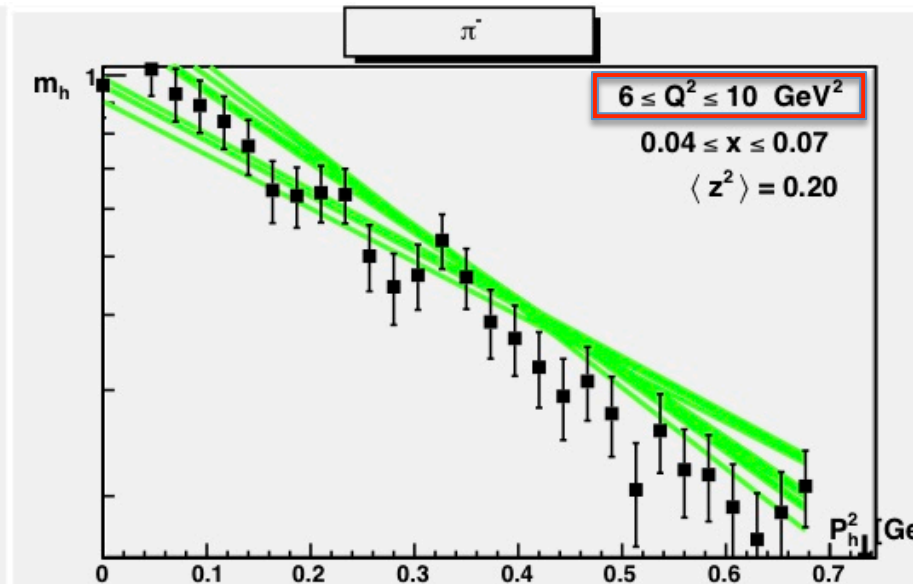
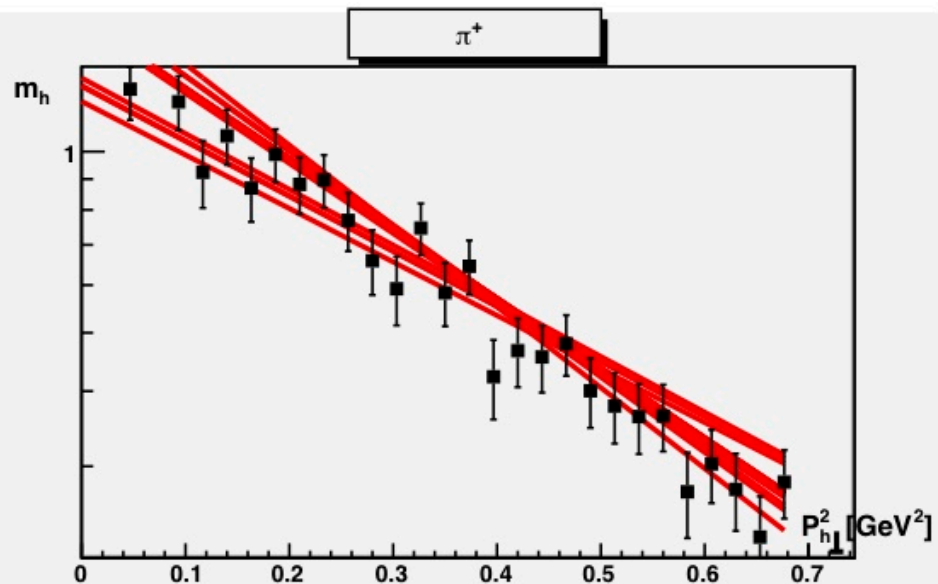
$$\langle p_{T,\text{up}}^2 \rangle = \langle p_{T,\text{down}}^2 \rangle = \langle p_{T,\text{sea}}^2 \rangle$$
$$\langle K_{T,\text{fav}}^2 \rangle = \langle K_{T,\text{unf}}^2 \rangle$$



TEST DI FLAVOUR-INDEPENDENCE

Si fittano due set di *dati differenti* con la *stessa funzione*

$$\langle p_{T,\text{up}}^2 \rangle = \langle p_{T,\text{down}}^2 \rangle = \langle p_{T,\text{sea}}^2 \rangle$$
$$\langle K_{T,\text{fav}}^2 \rangle = \langle K_{T,\text{unf}}^2 \rangle$$



TEST DI FLAVOUR-**I**NDEPENDENCE

sea = up = down , fav = unf

$3.5 < Q^2 < 6 \text{ GeV}^2$, $0.07 < x < 0.12$, $\langle z^2 \rangle = 0.11$

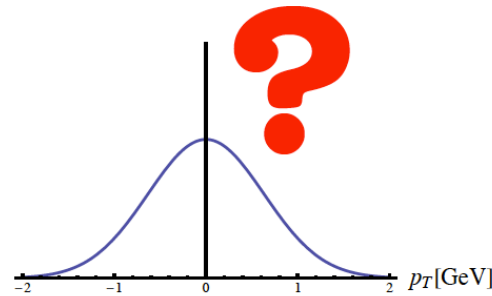
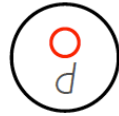
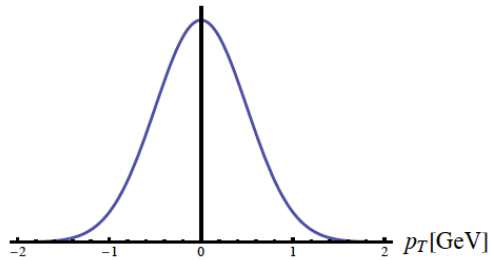
$$\langle p_T^2 \rangle = 0.76 \pm 0.15$$

Valori medi
ed errori statistici

$$\langle K_T^2 \rangle = 0.16 \pm 0.03$$

ALTRE ANALISI

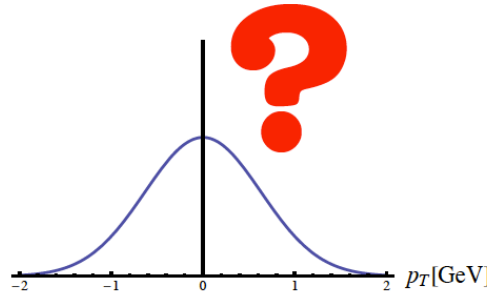
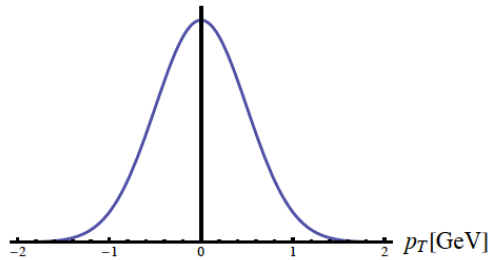
JEFFERSON LAB



 **Jefferson Lab**

“Transverse momentum dependence
of semi-inclusive pion production.”
Physics Letters B 665 (2008) 20–25

JEFFERSON LAB



“Transverse momentum dependence of semi-inclusive pion production.”
Physics Letters B 665 (2008) 20–25

$$1.5 < Q^2 < 10 \text{ GeV}^2$$

$$0.012 < x < 0.12$$

$$0.08 < \langle z^2 \rangle < 0.56$$

$$P_{h\perp}^2 < 0.7 \text{ GeV}^2$$



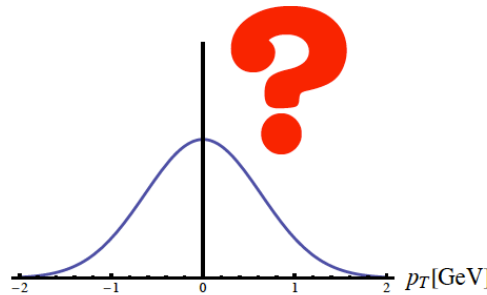
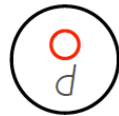
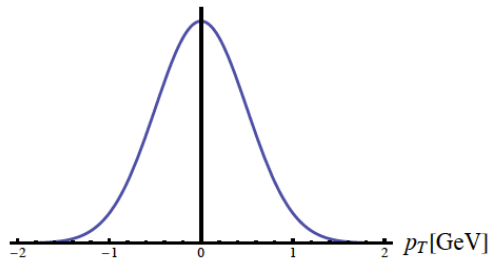
$$2 < Q^2 < 4 \text{ GeV}^2$$

$$0.2 < x < 0.5$$

$$0.3 < z < 1$$

$$P_{h\perp}^2 < 0.2 \text{ GeV}^2$$

JEFFERSON LAB



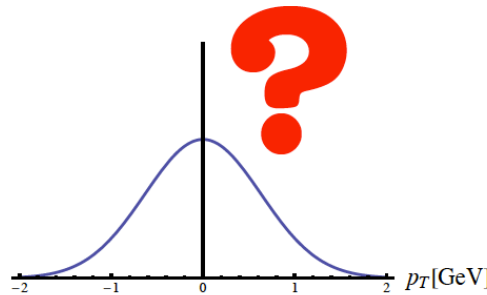
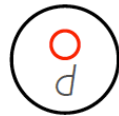
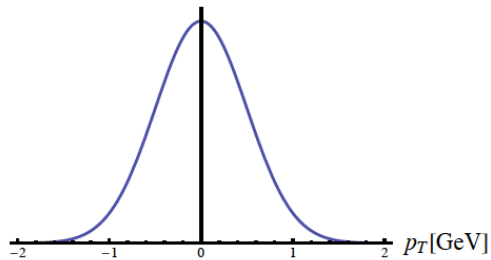
Jefferson Lab

“Transverse momentum dependence
of semi-inclusive pion production.”
Physics Letters B 665 (2008) 20–25



$$\langle p_{T,up}^2 \rangle = -0.01 \pm 0.04 \text{ GeV}^2$$

JEFFERSON LAB



Jefferson Lab

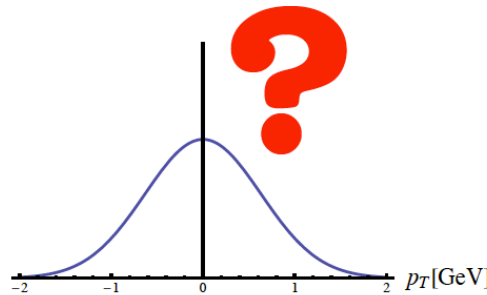
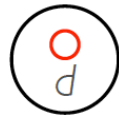
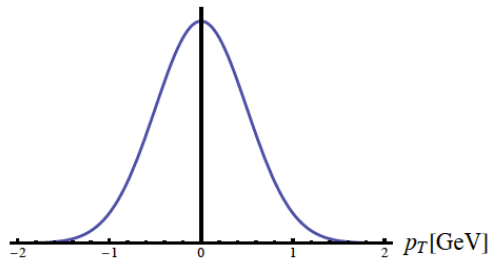
“Transverse momentum dependence
of semi-inclusive pion production.”
Physics Letters B 665 (2008) 20–25



$$\langle p_{T,\text{up}}^2 \rangle = -0.01 \pm 0.04 \text{ GeV}^2$$

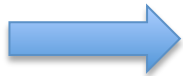
$$\langle p_{T,\text{down}}^2 \rangle = 0.22 \pm 0.13 \text{ GeV}^2$$

JEFFERSON LAB



Jefferson Lab

“Transverse momentum dependence
of semi-inclusive pion production.”
Physics Letters B 665 (2008) 20–25



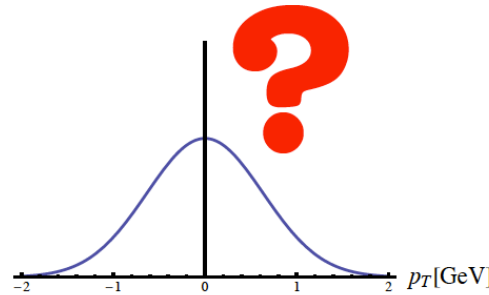
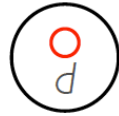
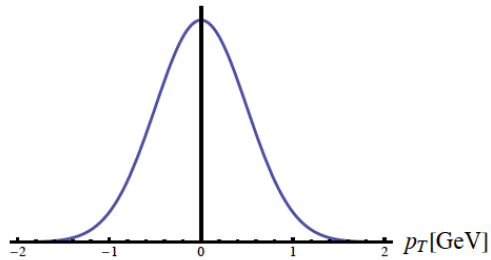
$$\langle p_{T,\text{up}}^2 \rangle = -0.01 \pm 0.04 \text{ GeV}^2$$

$$\langle p_{T,\text{down}}^2 \rangle = 0.22 \pm 0.13 \text{ GeV}^2$$

Incompatibili in una deviazione standard



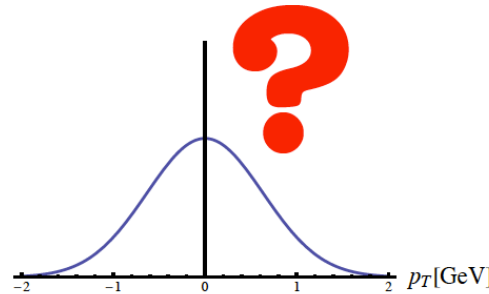
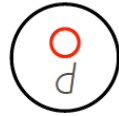
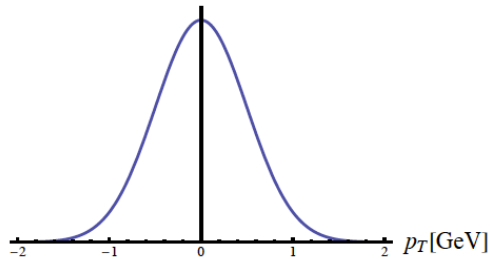
LATTICE QCD



QCD su reticolo

“Exploring quark transverse momentum distributions with lattice QCD.”
Phys.Rev. D83 (2011) 094507

LATTICE QCD

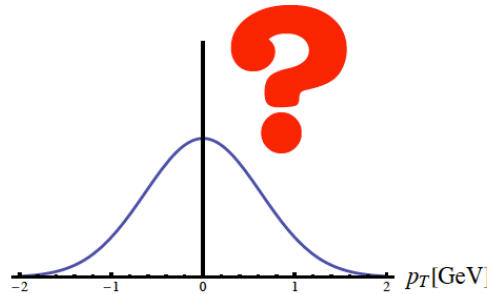
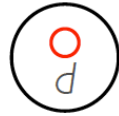
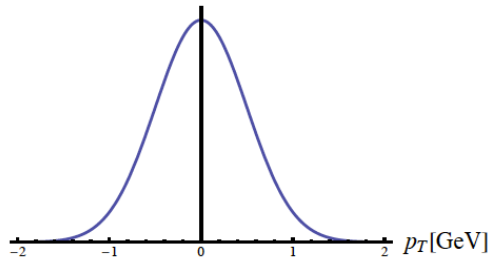


QCD su reticolo

“Exploring quark transverse momentum distributions with lattice QCD.”
Phys.Rev. D83 (2011) 094507

1. Valori integrati su x

LATTICE QCD



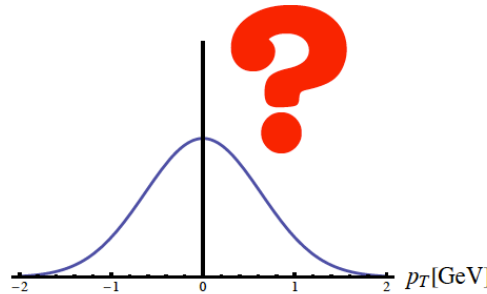
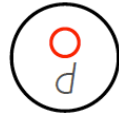
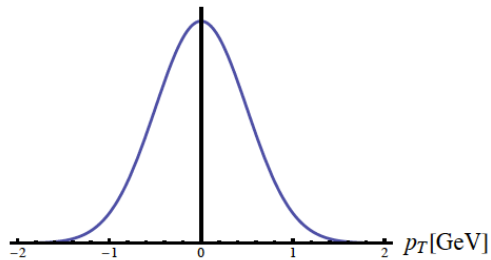
QCD su reticolo

“Exploring quark transverse momentum distributions with lattice QCD.”
Phys.Rev. D83 (2011) 094507

1. Valori integrati su x

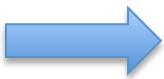
2. La dipendenza dalla scala energetica Q^2 non è definita

LATTICE QCD

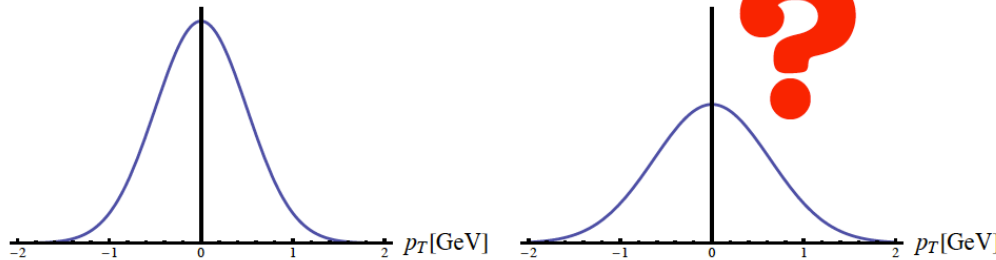
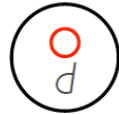


QCD su reticolo

“Exploring quark transverse momentum distributions with lattice QCD.”
Phys.Rev. D83 (2011) 094507



$$\langle p_{T,\text{up}} \rangle = 0.394 \pm 0.004 \pm 0.027 \text{ GeV}$$

LATTICE QCD



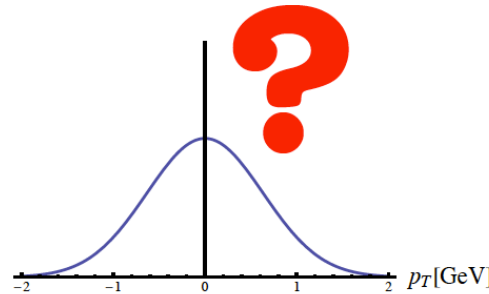
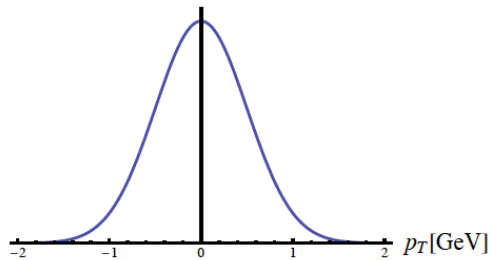
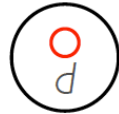
QCD su reticolo

“Exploring quark transverse momentum distributions with lattice QCD.”
Phys.Rev. D83 (2011) 094507


$$\langle p_{T,\text{up}} \rangle = 0.394 \pm 0.004 \pm 0.027 \text{ GeV}$$


$$\langle p_{T,\text{down}} \rangle = 0.405 \pm 0.005 \pm 0.027 \text{ GeV}$$

LATTICE QCD



QCD su reticolo

“Exploring quark transverse momentum distributions with lattice QCD.”
Phys.Rev. D83 (2011) 094507


$$\langle p_{T,\text{up}} \rangle = 0.394 \pm 0.004 \pm 0.027 \text{ GeV}$$

$$\langle p_{T,\text{down}} \rangle = 0.405 \pm 0.005 \pm 0.027 \text{ GeV}$$

Compatibili in una deviazione standard



JLAB & LATTICE vs COMPASS

*I risultati della **presente** e delle **precedenti** analisi
sono in **disaccordo**, ma... :*

JLAB & LATTICE vs COMPASS

*I risultati della **presente** e delle **precedenti** analisi sono in **disaccordo**, ma... :*

1. Gli **intervalli cinematici** esplorati nell'analisi dei dati di COMPASS sono più ampi

JLAB & LATTICE vs COMPASS

*I risultati della **presente** e delle **precedenti** analisi sono in **disaccordo**, ma... :*

1. Gli **intervalli cinematici** esplorati nell'analisi dei dati di COMPASS sono più ampi
2. I risultati correnti hanno **carattere statistico**

JLAB & LATTICE vs COMPASS

*I risultati della **presente** e delle **precedenti** analisi sono in **disaccordo**, ma... :*

1. Gli **intervalli cinematici** esplorati nell'analisi dei dati di COMPASS sono più ampi
2. I risultati correnti hanno **carattere statistico**
3. Per il momento il fit è basato sui **fit gaussiani** dei **dati preliminari** di COMPASS

PROGETTI FUTURI

PROGETTI FUTURI

- **COMPASS** : release finale dei dati (con PID ?)

PROGETTI FUTURI

- **COMPASS** : release finale dei dati (con PID ?)
- **HERMES** :
 1. *Particle identification system*: sensibilità ai kaoni
 2. Scattering su *deutone*: maggiore sensibilità al down

PROGETTI FUTURI

- **COMPASS** : release finale dei dati (con PID ?)
- **HERMES** :
 1. *Particle identification system*: sensibilità ai kaoni
 2. Scattering su *deutone*: maggiore sensibilità al down
- **Jefferson Lab**: dati con alta luminosità

PROGETTI FUTURI

$$Q^2 = \textcircled{x} y \textcircled{s}$$

PROGETTI FUTURI

$$Q^2 = x y s$$

1. Jefferson Lab: $\sqrt{s} = 5 \text{ GeV} : \text{ low } s \implies \text{ high } x$

PROGETTI FUTURI

$$Q^2 = \textcircled{x} y \textcircled{s}$$

1. Jefferson Lab: $\sqrt{s} = 5 \text{ GeV}$: low $s \implies$ high x

2. HERMES: $\sqrt{s} = 7 \text{ GeV}$: medium $s \implies$ medium x

PROGETTI FUTURI

$$Q^2 = x y s$$

1. Jefferson Lab: $\sqrt{s} = 5 \text{ GeV}$: low $s \implies$ high x

2. HERMES: $\sqrt{s} = 7 \text{ GeV}$: medium $s \implies$ medium x

3. COMPASS: $\sqrt{s} = 18 \text{ GeV}$: high $s \implies$ low x

PROGETTI FUTURI

$$Q^2 = x y s$$

1. Jefferson Lab: $\sqrt{s} = 5 \text{ GeV}$: low $s \implies$ high x

2. HERMES: $\sqrt{s} = 7 \text{ GeV}$: medium $s \implies$ medium x

3. COMPASS: $\sqrt{s} = 18 \text{ GeV}$: high $s \implies$ low x

4. (future) **EIC (Electron-Ion Collider):** $\sqrt{s} = 20 - 150 \text{ GeV}$
very high $s \implies$ very low x

PROGETTI FUTURI

$$Q^2 = x y s$$

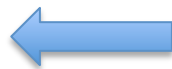
1. Jefferson Lab: $\sqrt{s} = 5 \text{ GeV}$: low $s \implies$ high x

2. HERMES: $\sqrt{s} = 7 \text{ GeV}$: medium $s \implies$ medium x

3. COMPASS: $\sqrt{s} = 18 \text{ GeV}$: high $s \implies$ low x

4. (future) **EIC (Electron-Ion Collider):** $\sqrt{s} = 20 - 150 \text{ GeV}$

Quark del mare e gluoni



very high $s \implies$ very low x

CONCLUSIONI

CONCLUSIONI

- L'ipotesi gaussiana con **flavour-dependence fitta meglio i dati** dello stesso modello flavour-independent

CONCLUSIONI

- L'ipotesi gaussiana con **flavour-dependence fitta meglio i dati** dello stesso modello flavour-independent
- Il valore medio del momento quadratico medio del quark **up** è **più grande** di quello relativo al quark **down**

CONCLUSIONI

- L'ipotesi gaussiana con **flavour-dependence fitta meglio i dati** dello stesso modello flavour-independent
- Il valore medio del momento quadratico medio del quark **up** è **più grande** di quello relativo al quark **down**
- Introducendo la flavour-dependence la **molteplicità adronica** (ovvero la funzione di struttura non polarizzata) **perde il carattere gaussiano**

Backup slides

Short-FUTURE PLANS

- Implementare criterio che stabilisca un **limite inferiore** per i valori di $\langle p_T^2 \rangle$, $\langle K_T^2 \rangle$
- Previsione per il **deuterio**
- Inserire correttamente l'effetto delle equazioni di **evoluzione** TMD

JEFFERSON LAB

x_B	$\langle p_{T,up}^2 \rangle$ [GeV ²]	$\langle p_{T,down}^2 \rangle$ [GeV ²]	$\langle p_{T,sea}^2 \rangle$ [GeV ²]
0.018 – 0.025	1.09 ± 1.28	0.32 ± 1.04	1.46 ± 1.09
0.025 – 0.04	0.94 ± 0.99	0.81 ± 1.59	1.21 ± 0.90
0.07 – 0.12	0.45 ± 0.29	0.36 ± 0.50	0.40 ± 0.38

$\langle z^2 \rangle$	$\langle K_{T,fav}^2 \rangle$ [GeV ²]	$\langle K_{T,unf}^2 \rangle$ [GeV ²]
0.08	0.19 ± 0.08	0.21 ± 0.05
0.14	0.24 ± 0.07	0.23 ± 0.10
0.56	0.20 ± 0.15	0.14 ± 0.15

$$\langle p_{T,up}^2 \rangle = -0.01 \pm 0.04 \text{ GeV}^2$$

$$\langle p_{T,down}^2 \rangle = 0.22 \pm 0.13 \text{ GeV}^2$$

$$\langle K_{T,fav}^2 \rangle = 0.23 \pm 0.04 \text{ GeV}^2$$

$$\langle K_{T,unf}^2 \rangle = 0.19 \pm 0.04 \text{ GeV}^2$$



$$3.5 < Q^2 < 6 \text{ GeV}^2$$



$$2 < Q^2 < 4 \text{ GeV}^2$$

$$0.2 < x < 0.5$$

$$0.3 < z < 1$$

$$P_{h\perp}^2 < 0.2 \text{ GeV}^2$$

LATTICE QCD

x_B	$\langle p_{T,up}^2 \rangle$ [GeV ²]	$\langle p_{T,down}^2 \rangle$ [GeV ²]	$\langle p_{T,sea}^2 \rangle$ [GeV ²]
0.018 – 0.025	1.09 ± 1.28	0.32 ± 1.04	1.46 ± 1.09
0.025 – 0.04	0.94 ± 0.99	0.81 ± 1.59	1.21 ± 0.90
0.07 – 0.12	0.45 ± 0.29	0.36 ± 0.50	0.40 ± 0.38

$\langle z^2 \rangle$	$\langle K_{T,fav}^2 \rangle$ [GeV ²]	$\langle K_{T,unf}^2 \rangle$ [GeV ²]
0.08	0.19 ± 0.08	0.21 ± 0.05
0.14	0.24 ± 0.07	0.23 ± 0.10
0.56	0.20 ± 0.15	0.14 ± 0.15

$$3.5 < Q^2 < 6 \text{ GeV}^2$$



$$\langle p_{T,up} \rangle = 0.394 \pm 0.004 \pm 0.027 \text{ GeV}$$

$$\langle p_{T,down} \rangle = 0.405 \pm 0.005 \pm 0.027 \text{ GeV}$$

QCD su reticolo

Teoria: TMDs in SIDIS

$$d^{(n)}\sigma \sim W^{\mu\nu} L_{\mu\nu}$$

Tensore
adronico

Tensore
leptonico

Funzione “soft”

Che descrive il processo di adronizzazione

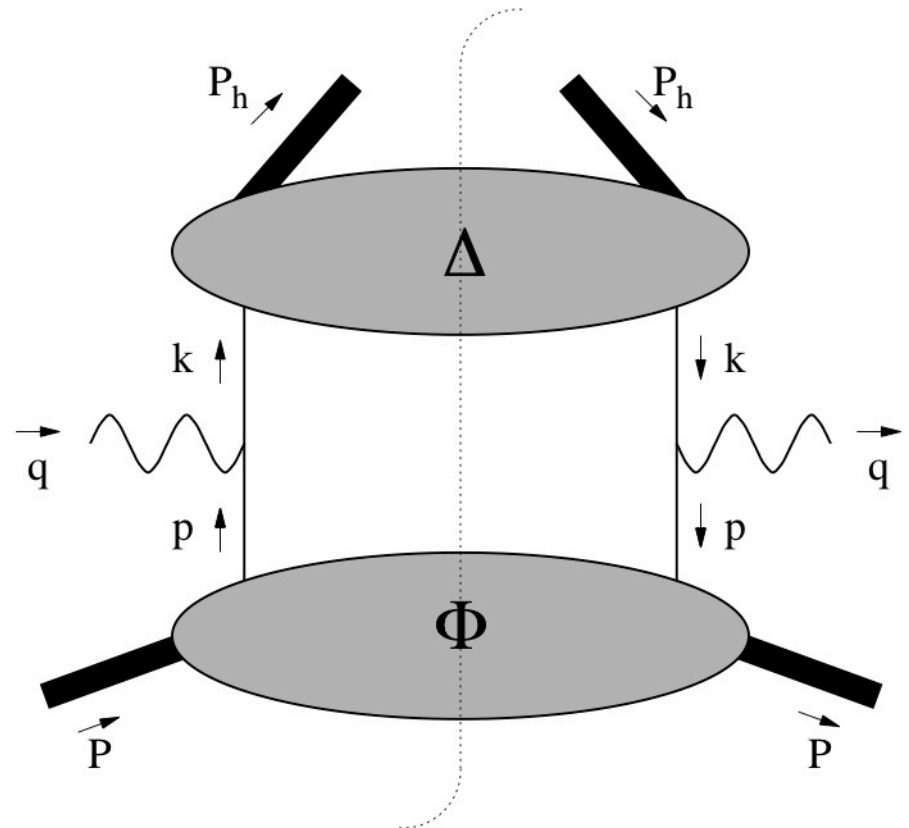
parton \rightarrow hadron

Funzione “soft” che descrive

La densità di presenza dei partoni nel nucleone

hadron \rightarrow parton

Interpretazione attraverso il
Parton model del tensore adronico



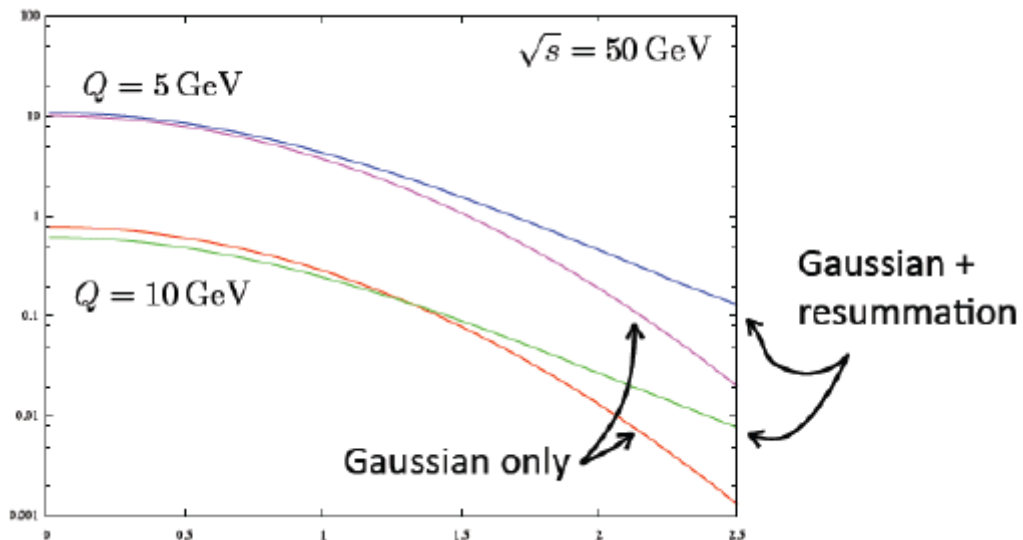
SIDIS at COMPASS

cinematica

- x : frazione di impulso collineare dell'adrone genitore trasportata dal partone
- z : frazione di energia del fotone virtuale portata dall'adrone frammentante
- Q^2 : massa invariante al quadrato del fotone virtuale scambiato

Flavour independent Gaussian ansatz

- pT resummation effects



Flavour independent Gaussian ansatz

- Orbital angular momentum effects

$$f_1(x, p_T^2) = |\psi_{s\text{-wave}}|^2 + |\psi_{p\text{-wave}}|^2 + \dots$$

$$\text{At low } p_T^2, |\psi_{p\text{-wave}}|^2 \sim p_T^2$$

Because of their non-vanishing value in the limit of zero transverse momentum Gaussian TMDs would agree only with s-wave functions

Flavour independent Gaussian ansatz

- Flavour dependence

